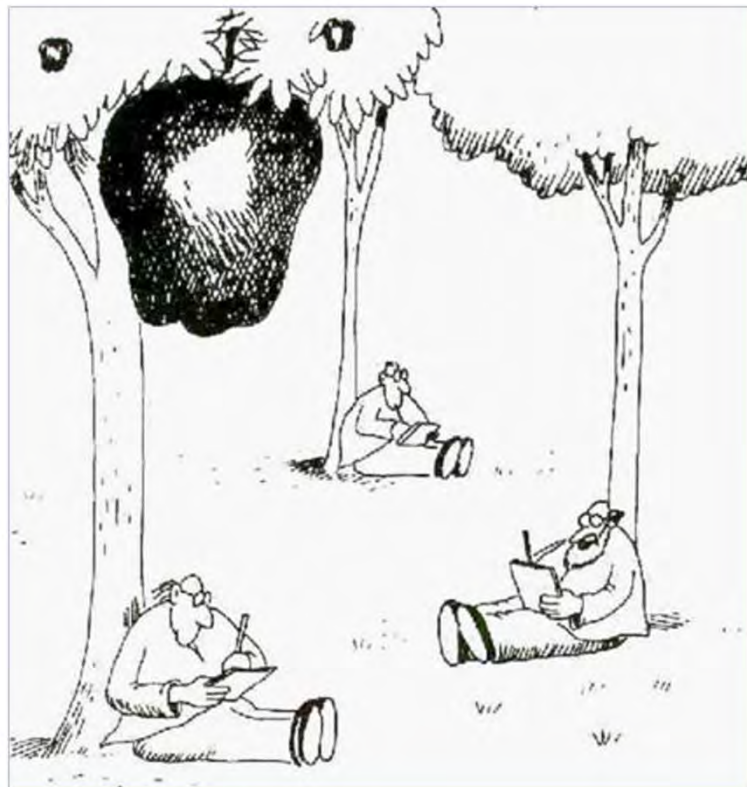


Gravitational Behavior of Antimatter at Rest

David Lunney (for the AD-7/GBAR Collaboration)
CSNSM (IN2P3-CNRS) Université de Paris Sud, Orsay

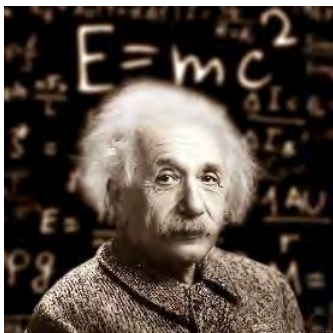
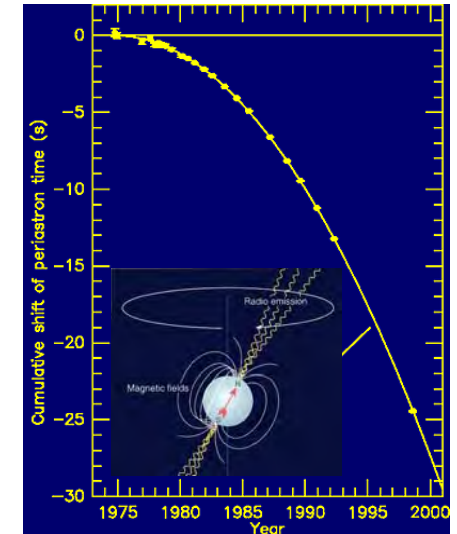
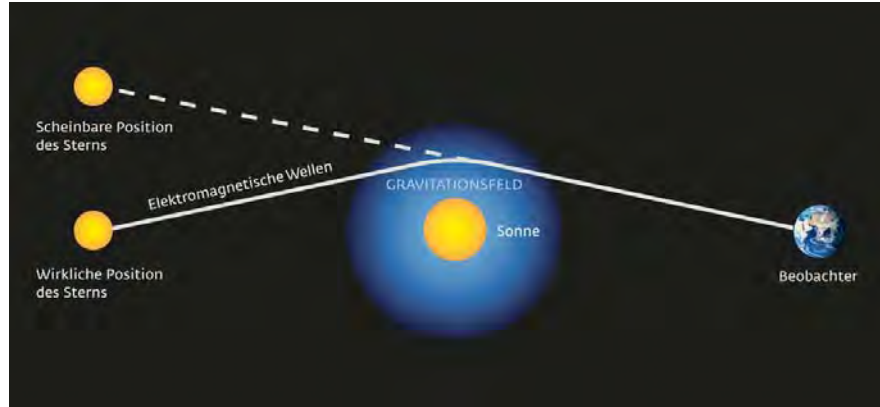
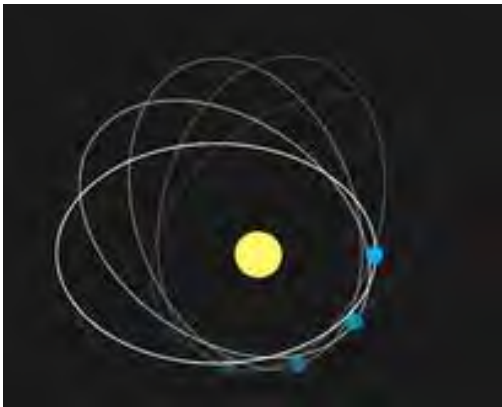


"Nothing yet – how about you, Newton?"
-Gary Larson, *The Far Side*

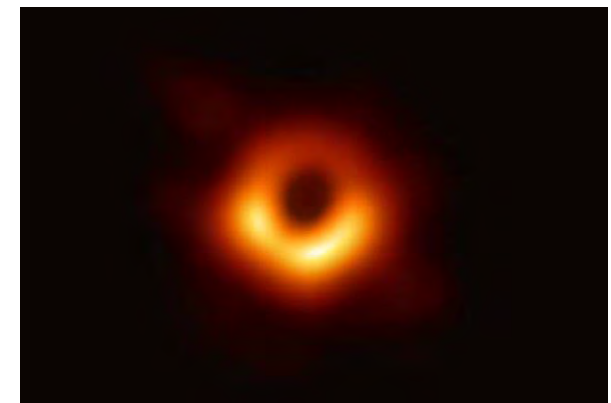
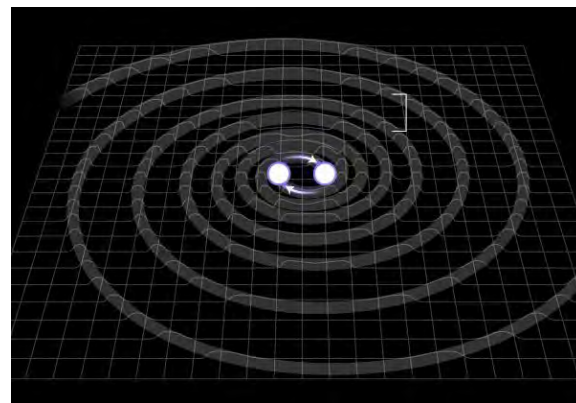
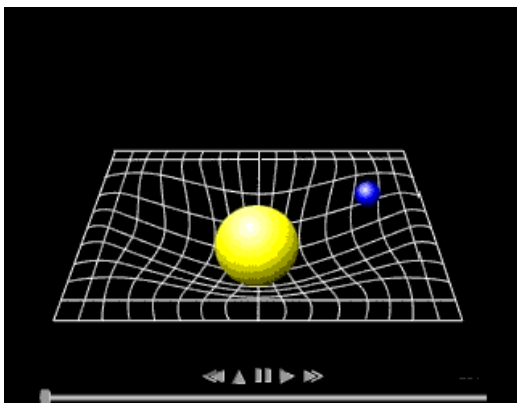


"To you it was fast."
-Eric Lewis, *The New Yorker*

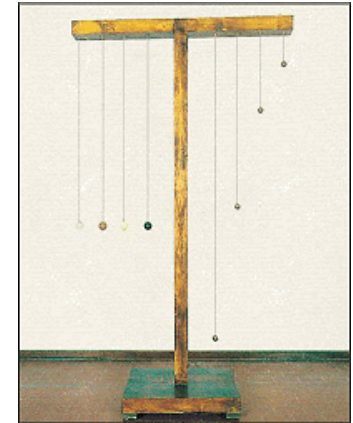
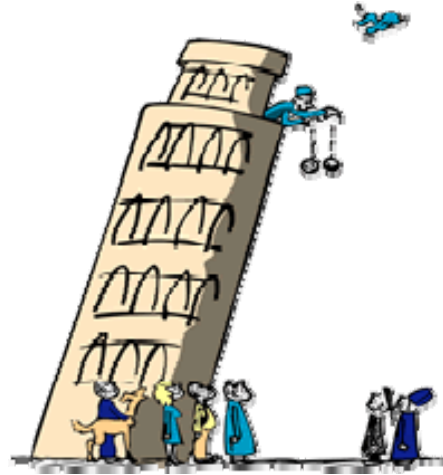
Einstein: General Relativity



- 1907: equivalence principle of falling bodies
- 1915: theory of GR published (Mercury's perihelion)
- 1919: Dyson, Eddington & Davidson: solar eclipse
- 1974: Taylor-Hulse pulsar (Nobel prize in 1993)
- 2015: Gravitational waves
- 2019: First image of Black Hole

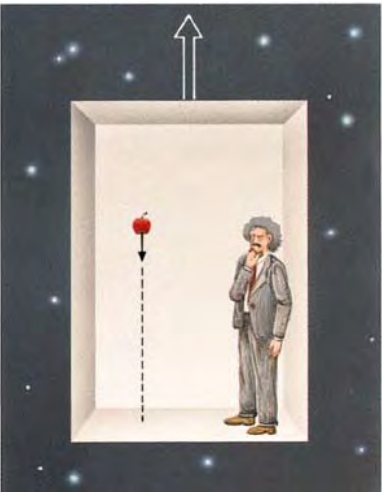


Relativity: the equivalence principle

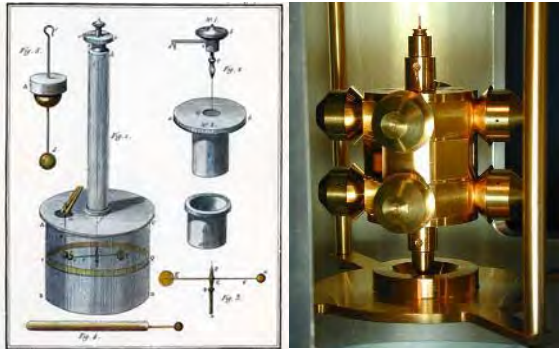


$$m_{\text{gravity}} = m_{\text{inertia}}$$

Early EP experiments



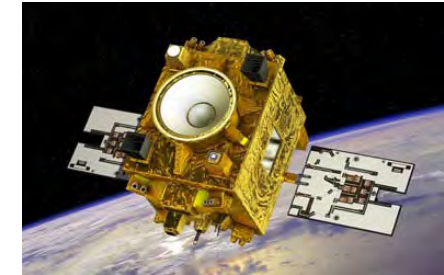
Testing the equivalence principle



Coulomb → Eötvös → Eöt-Wash (Seattle)
T.A. Wagner, S. Schlamminger, J.H. Gundlach & E.G. Adelberger, *Class. Quantum Grav.* (2012)



J.G. Williams, S.G. Turyshev and D.H. Boggs,
Class. Quantum Grav. 29, 184004 (2012)



Physics ABOUT BROWSE PRESS COLLECTIONS

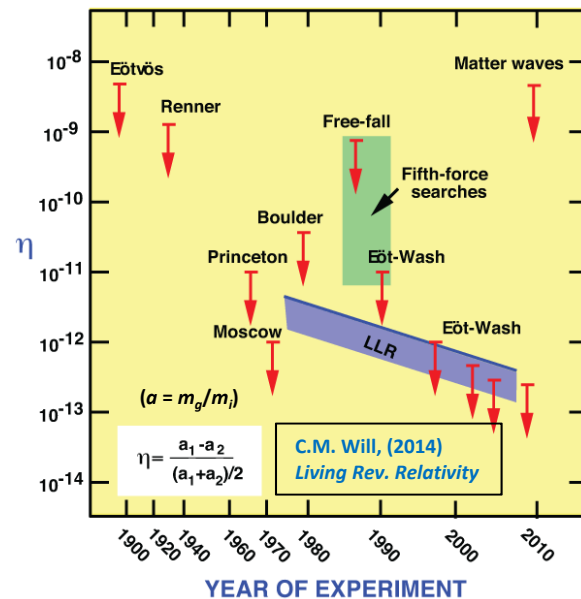
Synopsis: Space Tests of the Equivalence Principle

December 4, 2017

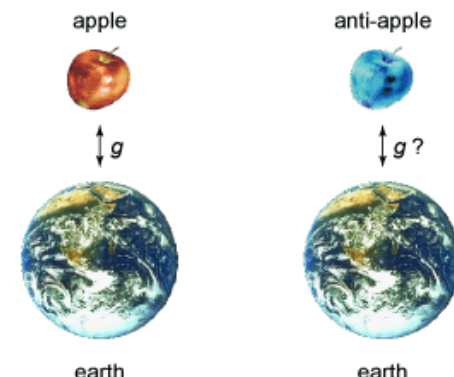
The MICROSCOPE satellite mission has tested the equivalence principle with unprecedented precision, showing no deviations from the predictions of general relativity.

[Print](#) [f](#) [t](#) [<-](#)

MICROSCOPE Mission:
First Results of a Space
Test of the Equivalence
Principle
Pierre Touboul et al.
Phys. Rev. Lett. 119, 231101
(2017)



Different locations,
different masses...
...but never tested
with antimatter!



Unifying the forces of Nature

Standard Model Extension (SME):
effective field theory adding General Relativity (GR)
& CPT/Lorentz violation (LV)

$$L_{\text{SME}} = L_{\text{SM}} + L_{\text{LV}} + L_{\text{GR}}$$

$$L = \underbrace{\frac{1}{2}(m + \frac{5}{3}N^w m^w \bar{c}_{TT}^w)}_{m_{i,\text{eff}}} v^2 - gz \underbrace{(m + N^w m^w \bar{c}_{TT}^w + 2\alpha N^w (\bar{a}_{\text{eff}})_T^w)}_{m_{g,\text{eff}}}$$

Isotropic ‘Parachute’ Model (IPM)

$$\frac{1}{3}m^w \bar{c}_{TT}^w = \alpha(\bar{a}_{\text{eff}})_T^w$$

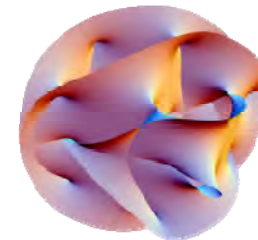
Matter

$$m_{i,\text{eff}} = m_{g,\text{eff}}$$

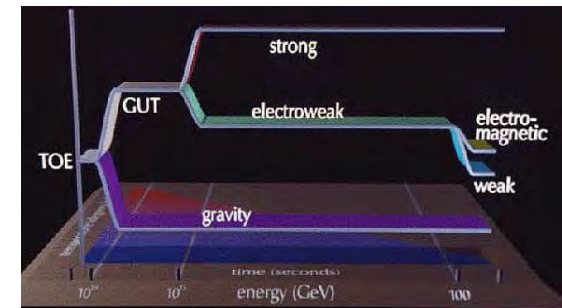
$$m_{i,\text{eff}} \neq m_{g,\text{eff}}$$

$$\bar{a} = g\left(1 - \frac{4m^w N^w}{3m} \bar{c}_{TT}^w\right)$$

different acceleration
(not “antigravity”)



Quantum gravity?



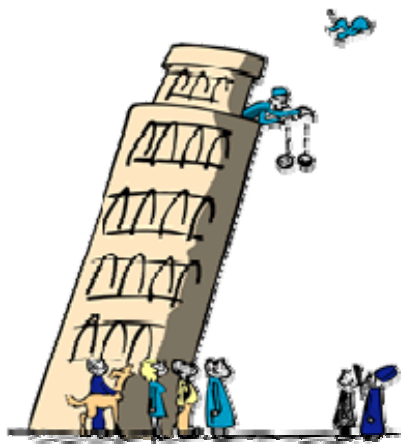
Antimatter

$$V = -G \frac{mm'}{r} (1 + a e^{-\frac{r}{v}} + b e^{-\frac{r}{s}})$$

↑ ↑ ↑ ↑
 Newton Supergravity : one component
 of repulsive gravity

Antigravity – a crazy idea? (J. Scherk, Phys. Lett. B, 1979)
Gravitational acceleration of Antimatter (Nieto and Goldman, Phys. Rep., 1991)
Negative mass – antigravity in General Relativity (G. Chardin, Hyp. Int. 1997)

The goal of GBAR – test EP with antimatter



*GBAR (CERN AD-7):
Free fall of
antihydrogen (at rest!)*

Witteborn & Fairbank, Nature (1968):
gravitational fall of the positron ($E_g = 6E-11 \text{ V/m} !$)

M. Holtzscheiter et al. (CERN PS-200):
gravitational fall of the antiproton

Gabrielse et al. (CERN AD-2) Phys. Rev. Lett. (1999):
trapped antiproton/proton comparisons (indirect)

CLEAR Collaboration, Phys. Lett. B (1999):
kaon-antikaon limits (indirect)

Supernova 1987A, e.g. Phys. Rev. D (1989):
(anti)neutrino time of flight (hypothesis)

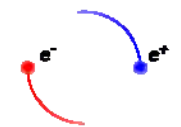
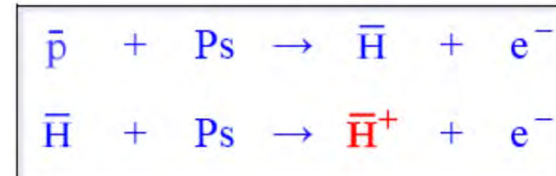
Cassidy et al. Phys. Rev. Lett. (2015):
Rydberg Ps for free fall experiment

The AEGIS Collaboration (CERN AD-6):
Interferometry of neutral antihydrogen beam

The ALPHA-g Collaboration (CERN AD-5):
Neutral antihydrogen

*use of anti-hydrogen ions
(for sympathetic cooling)*

J. Walz and T.W. Haensch, *Gen. Rel. Grav.* 36, 561 (2004)



P. Pérez & A. Rosowsky, *NIM A* 545, 20 (2005)

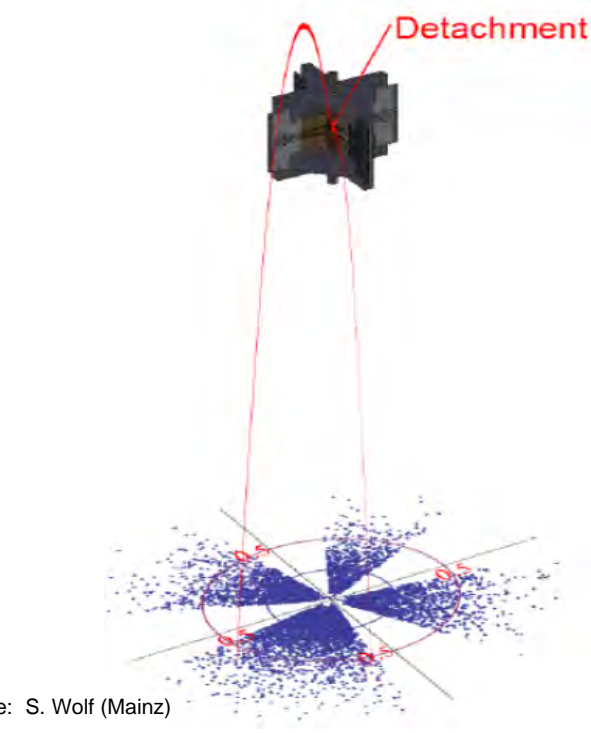
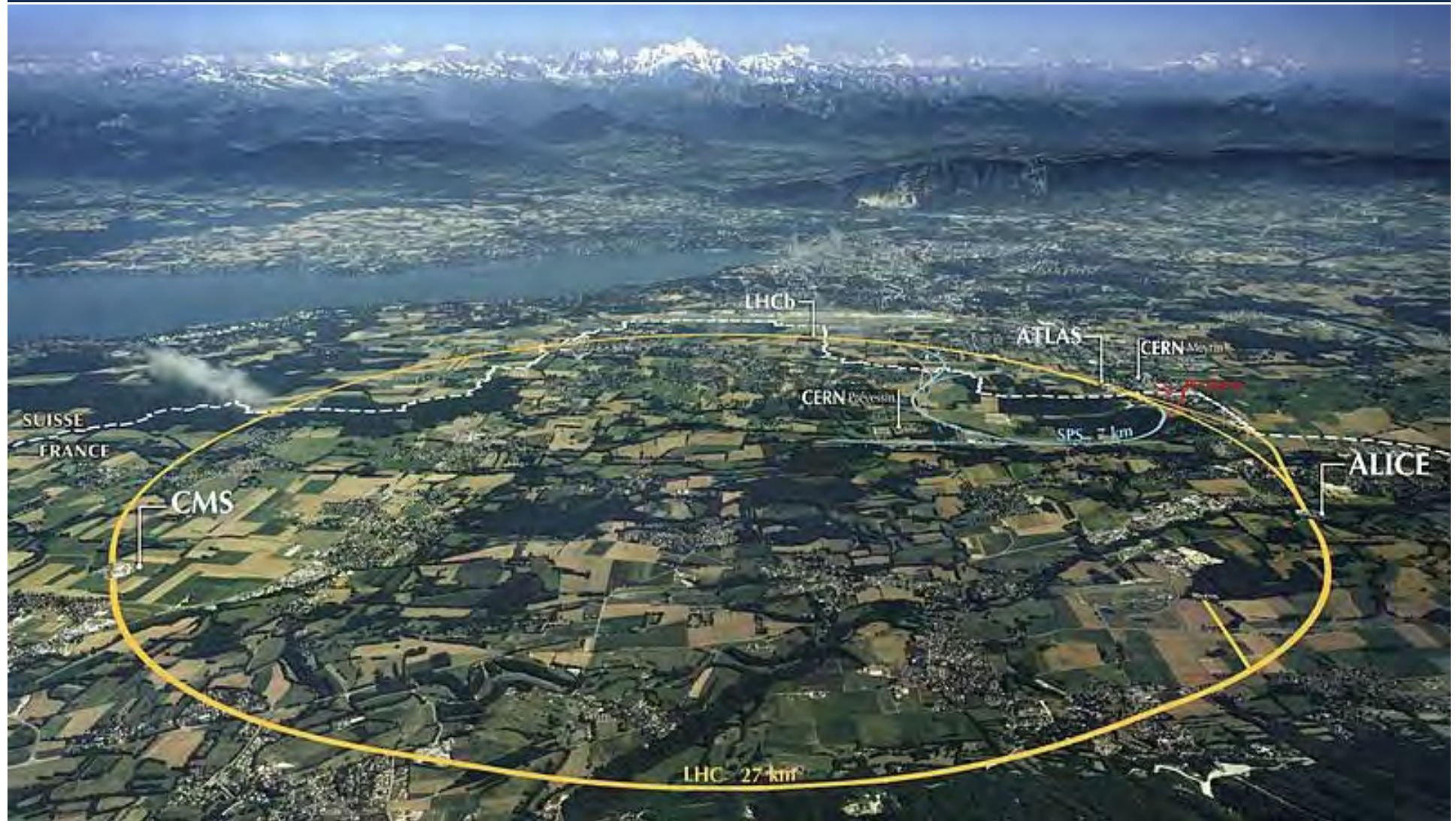
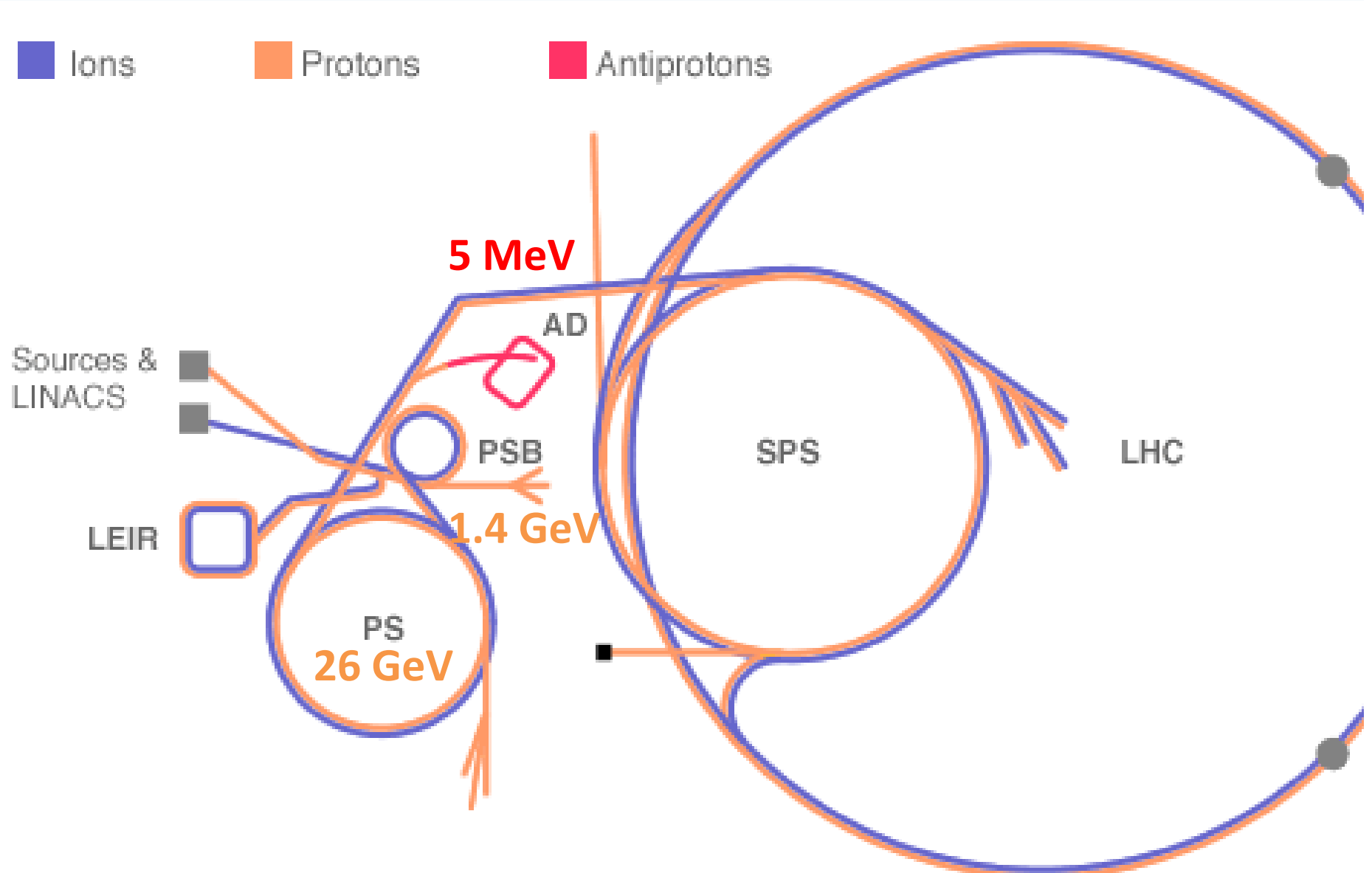


Image: S. Wolf (Mainz)

CERN – home of antimatter



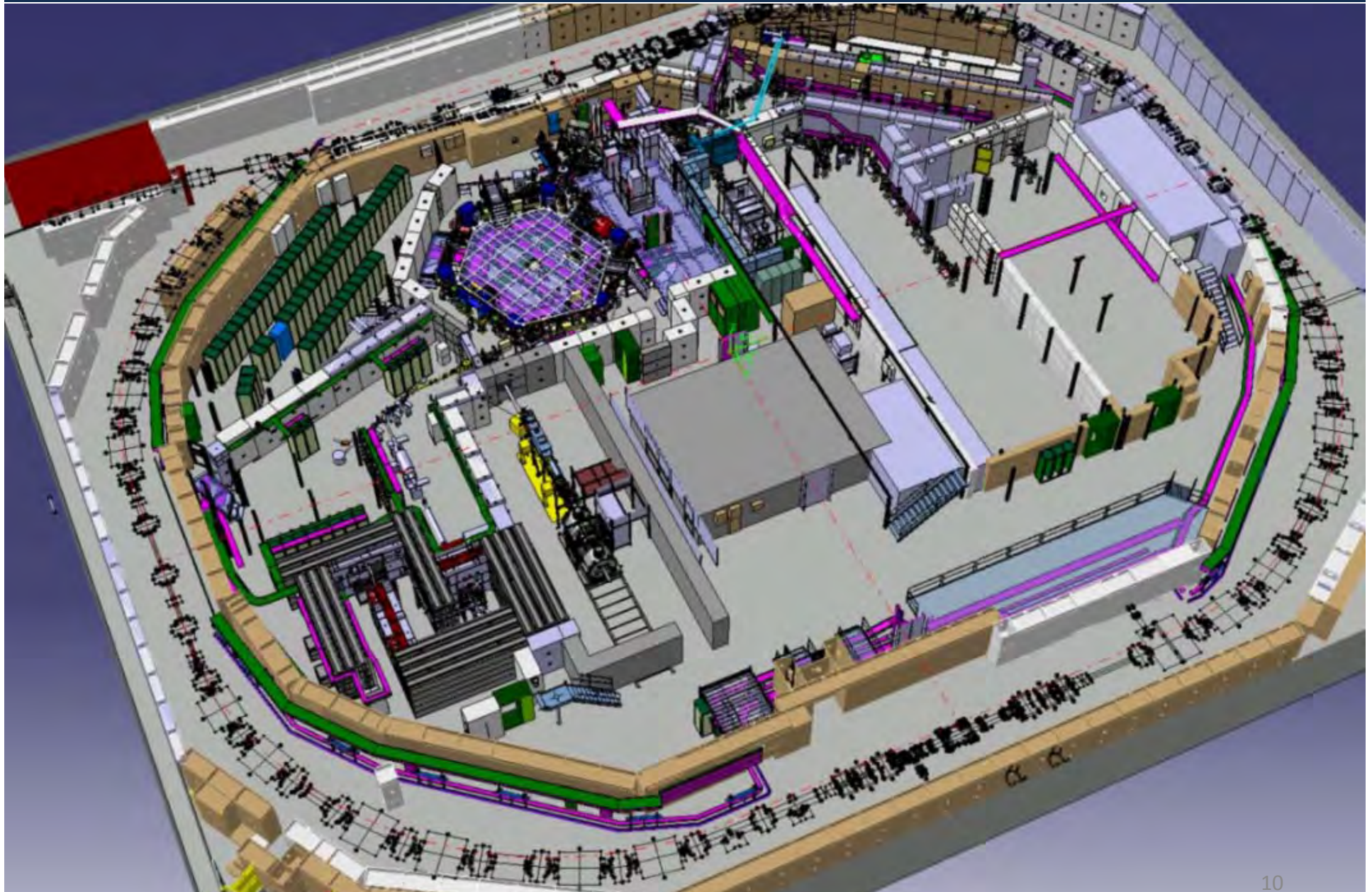
The CERN accelerator chain



The AD – CERN’s “antimatter factory”



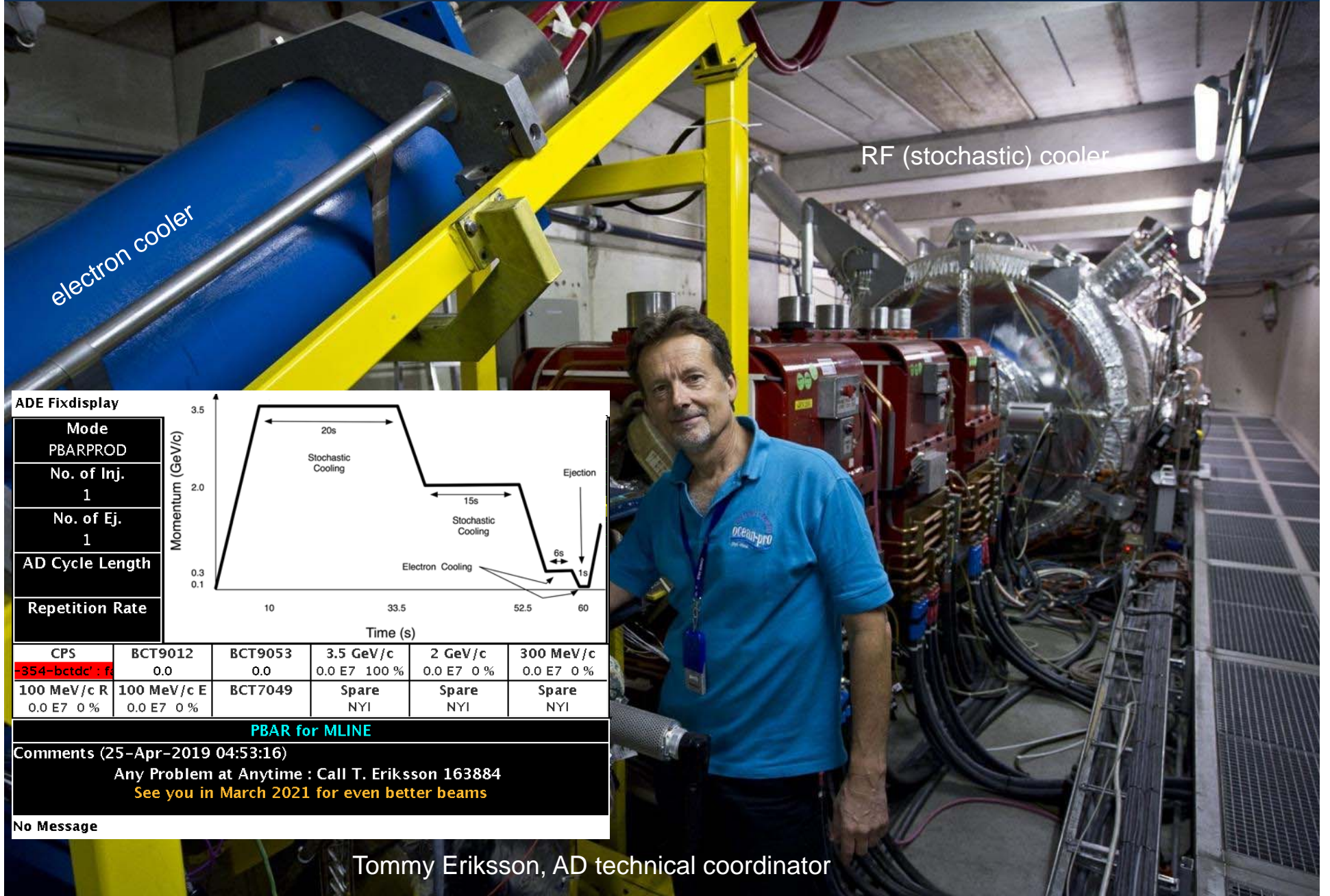
The AD (Antiproton Decelerator) facility



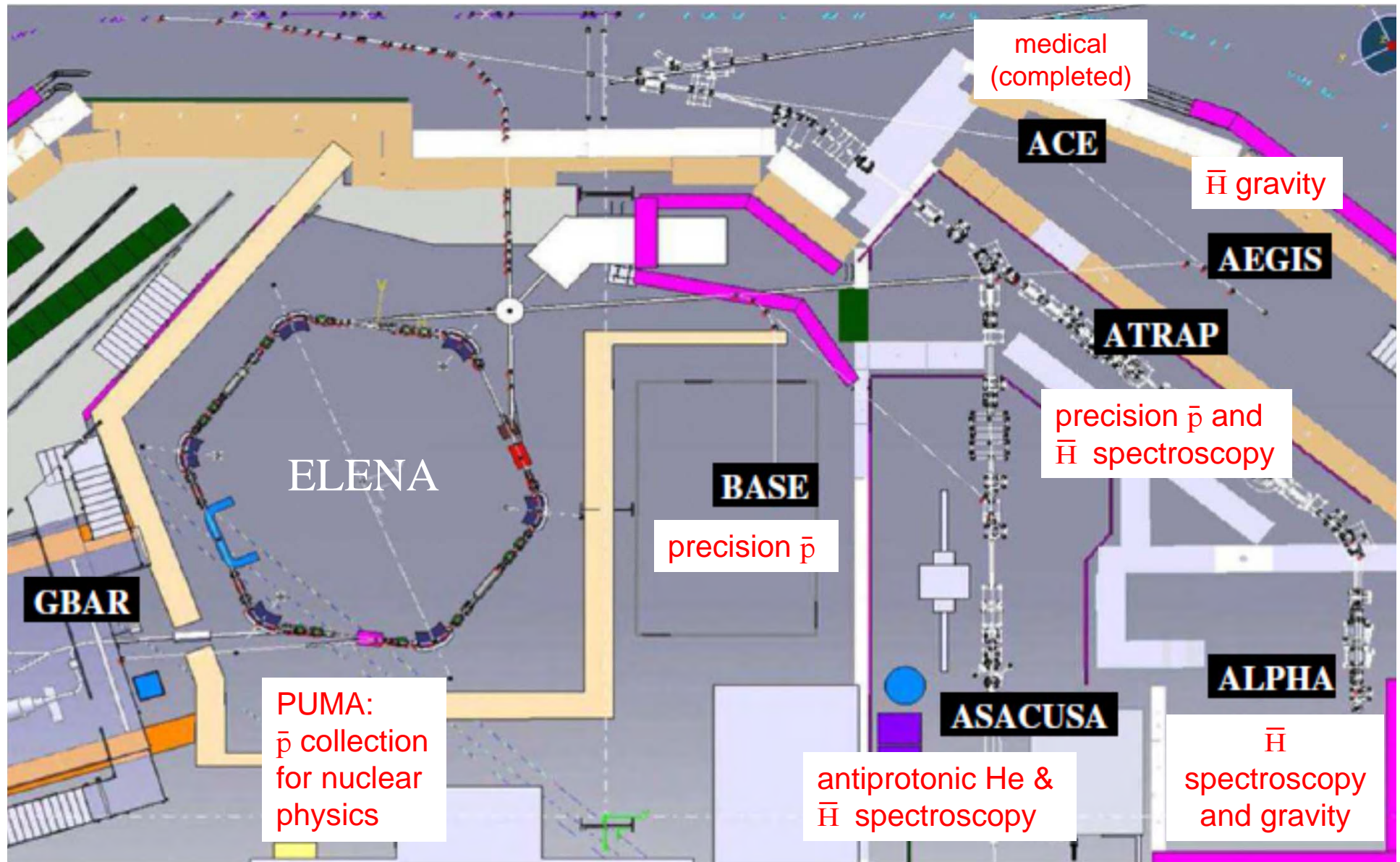
The AD storage ring



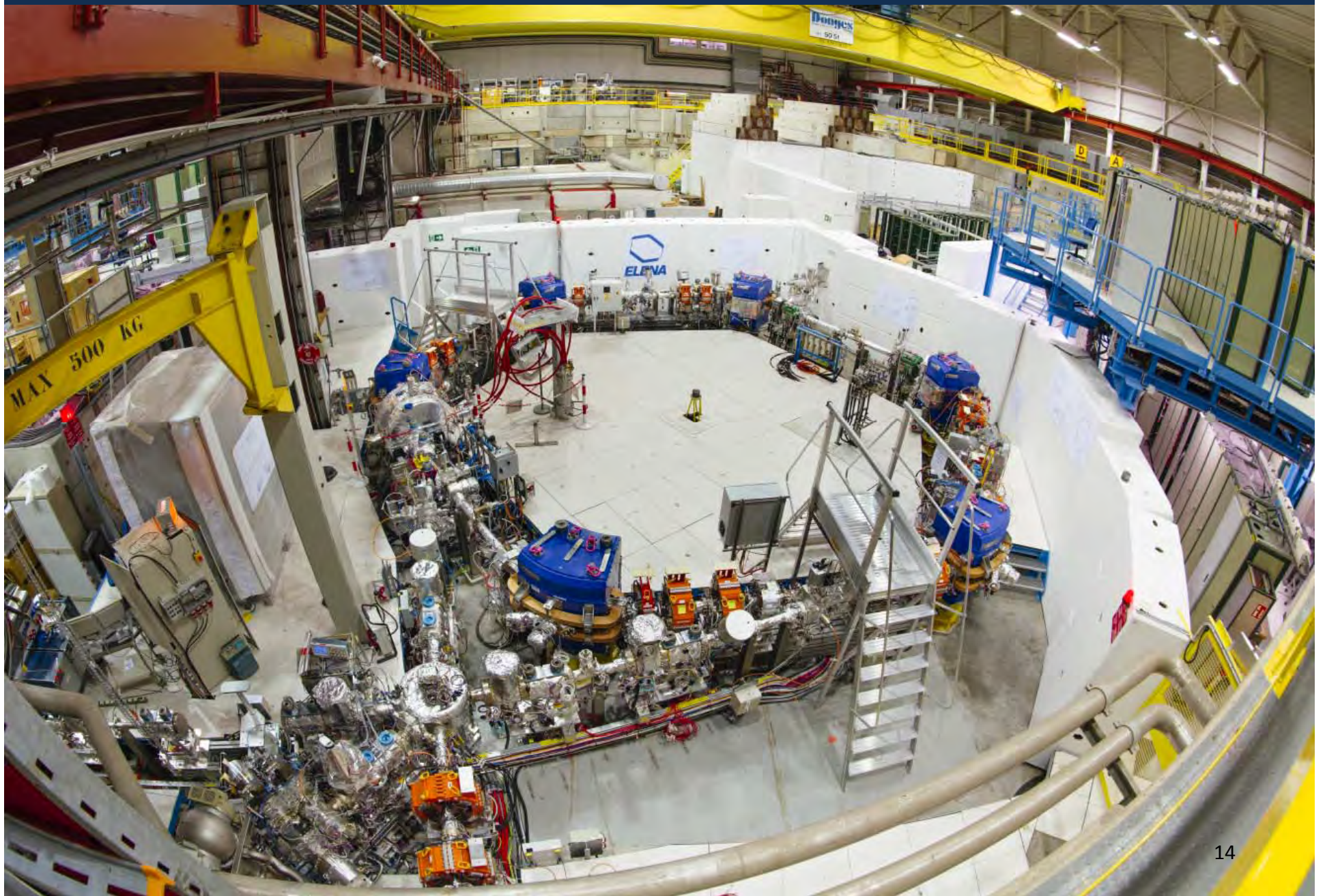
The AD coolers (needed for deceleration)



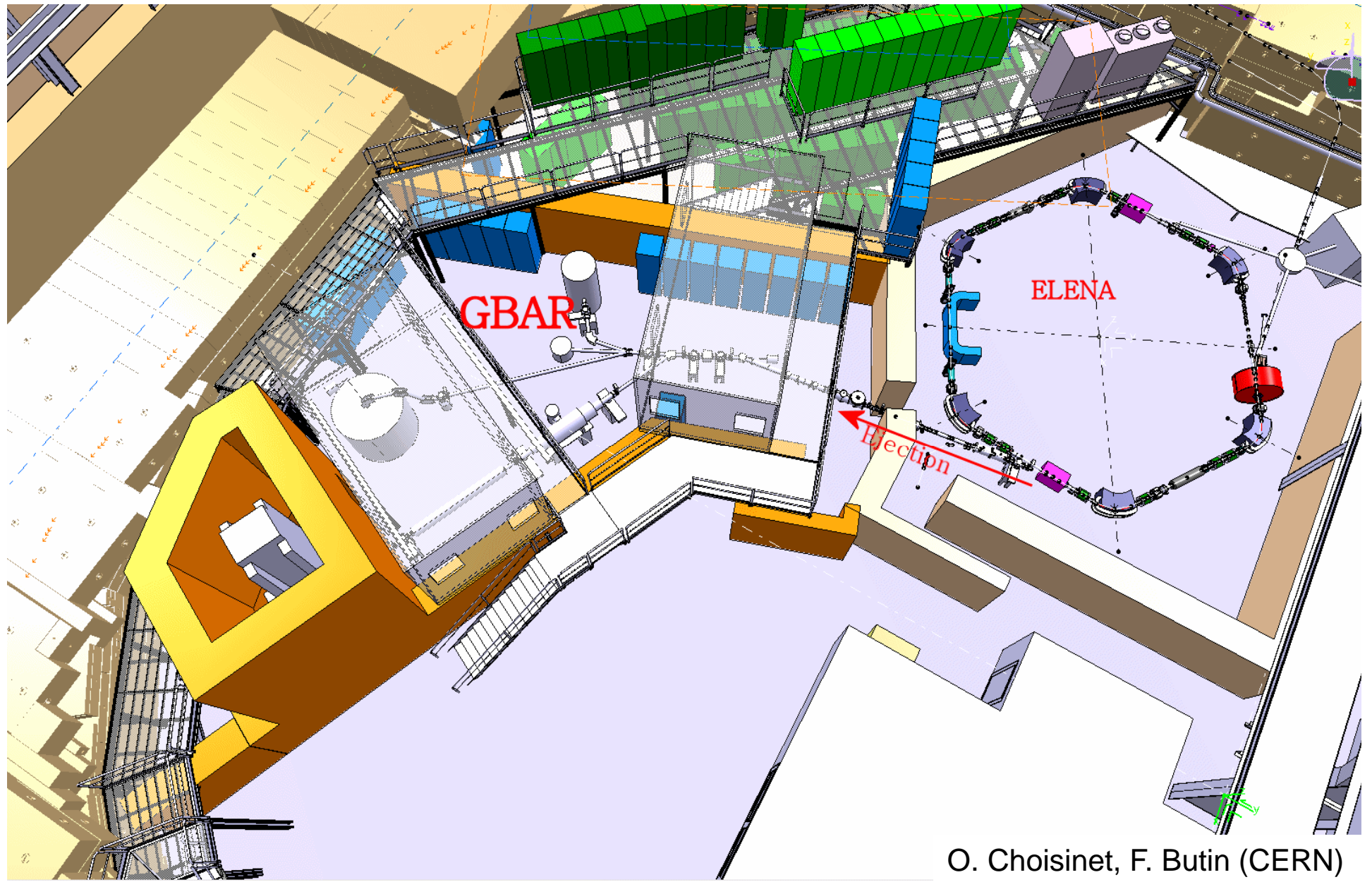
AD Experimental Hall



Extra Low ENergy Antiproton ring

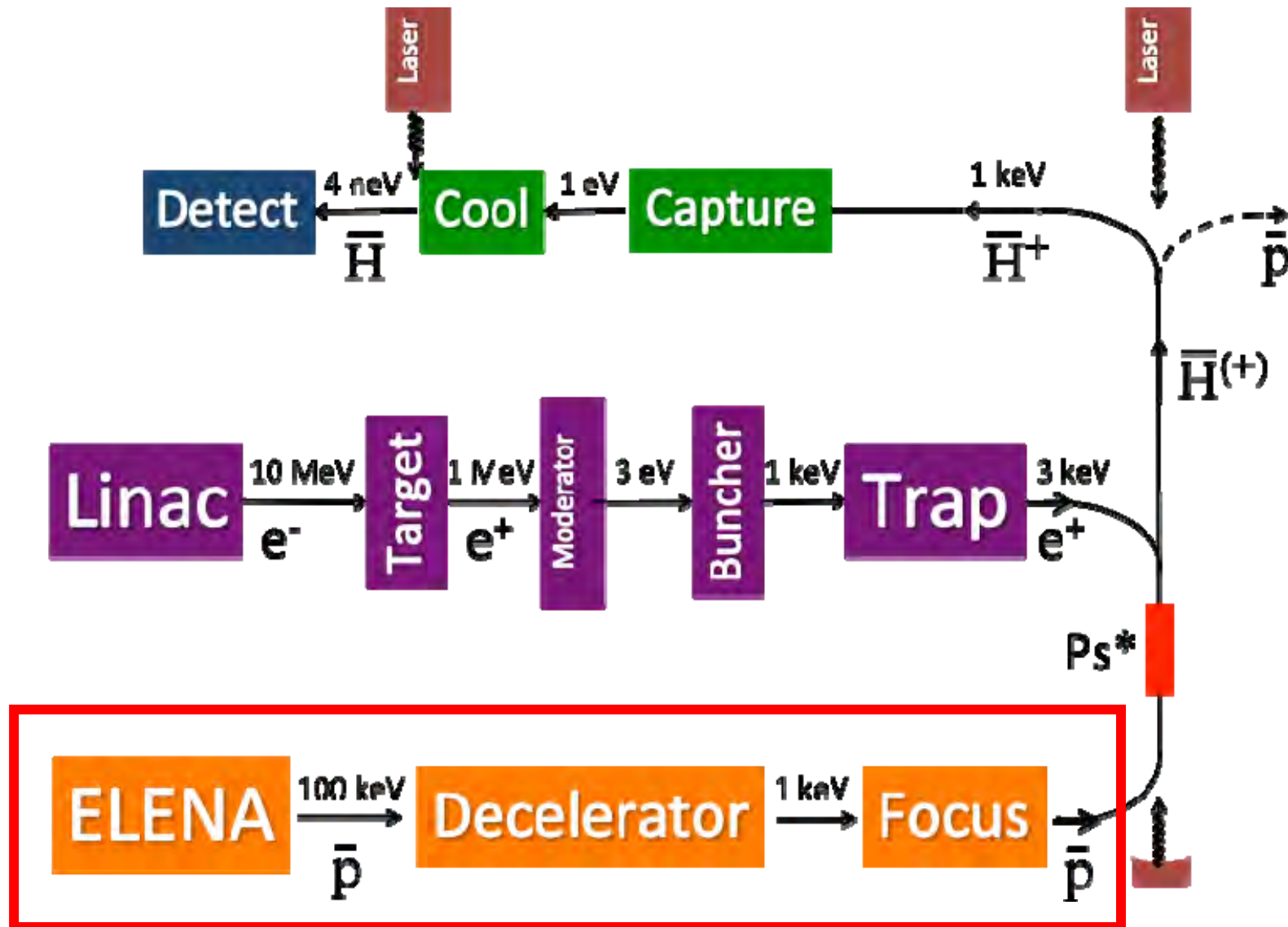


present GBAR layout

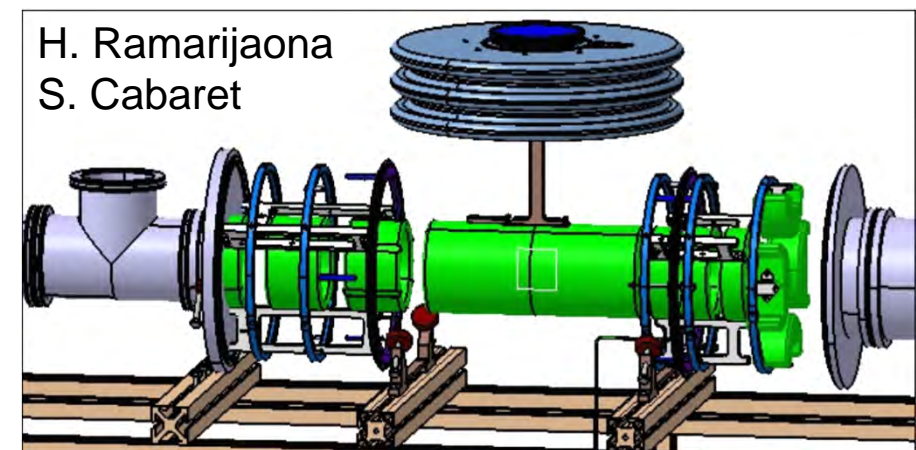
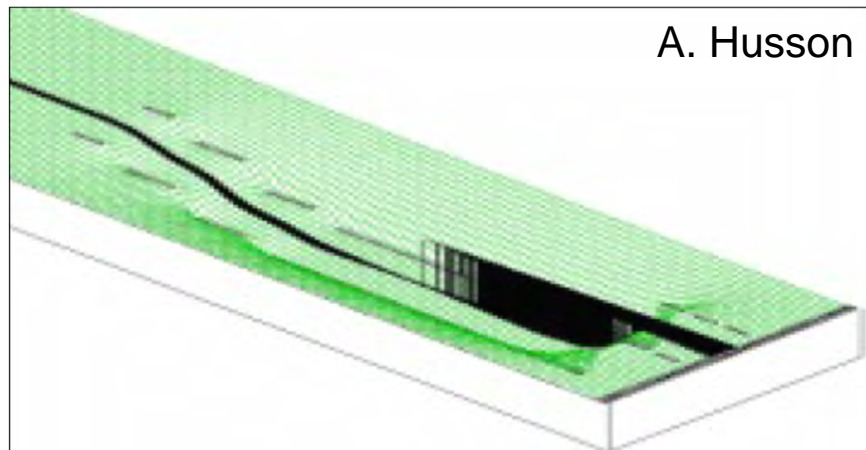
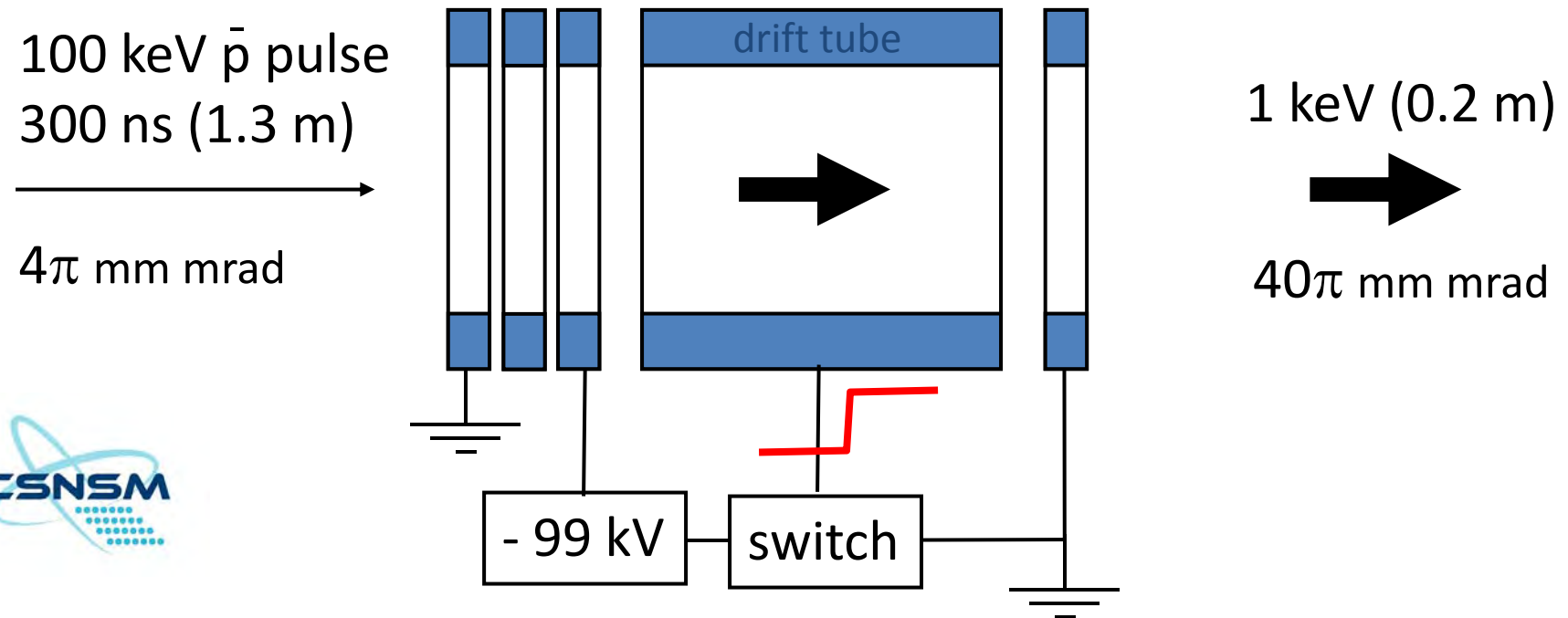


O. Choisinet, F. Butin (CERN)

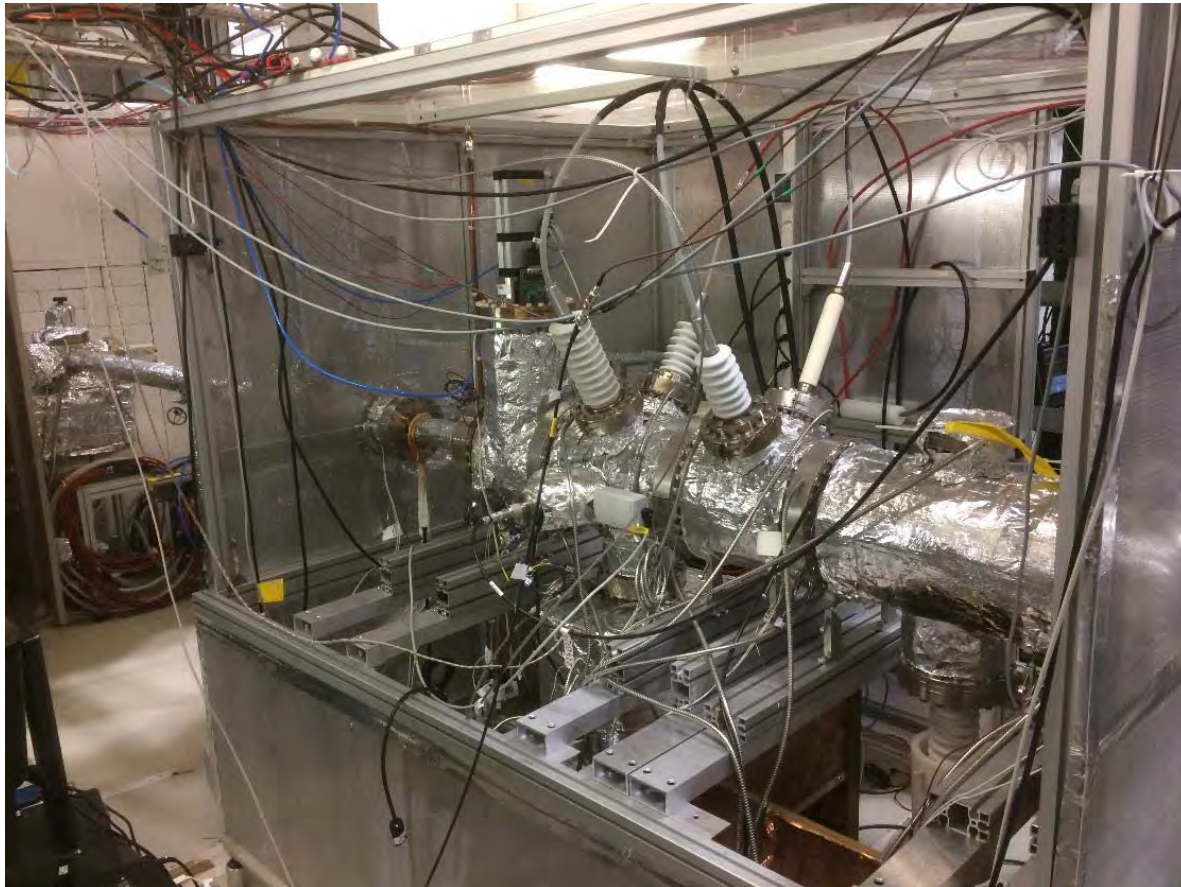
GBAR Schematic



GBAR antiproton decelerator schema



GBAR antiproton decelerator setup

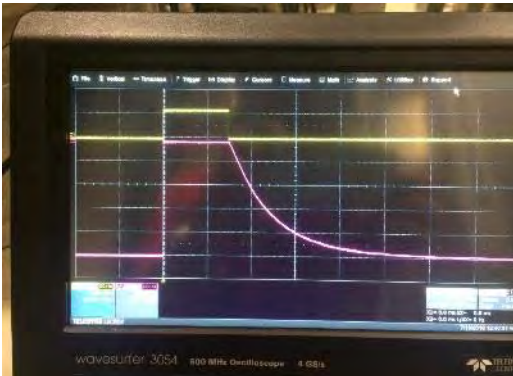


decelerator connected to ELENA



electrodes

GBAR decelerator HV switch



drift tube 0.4 m

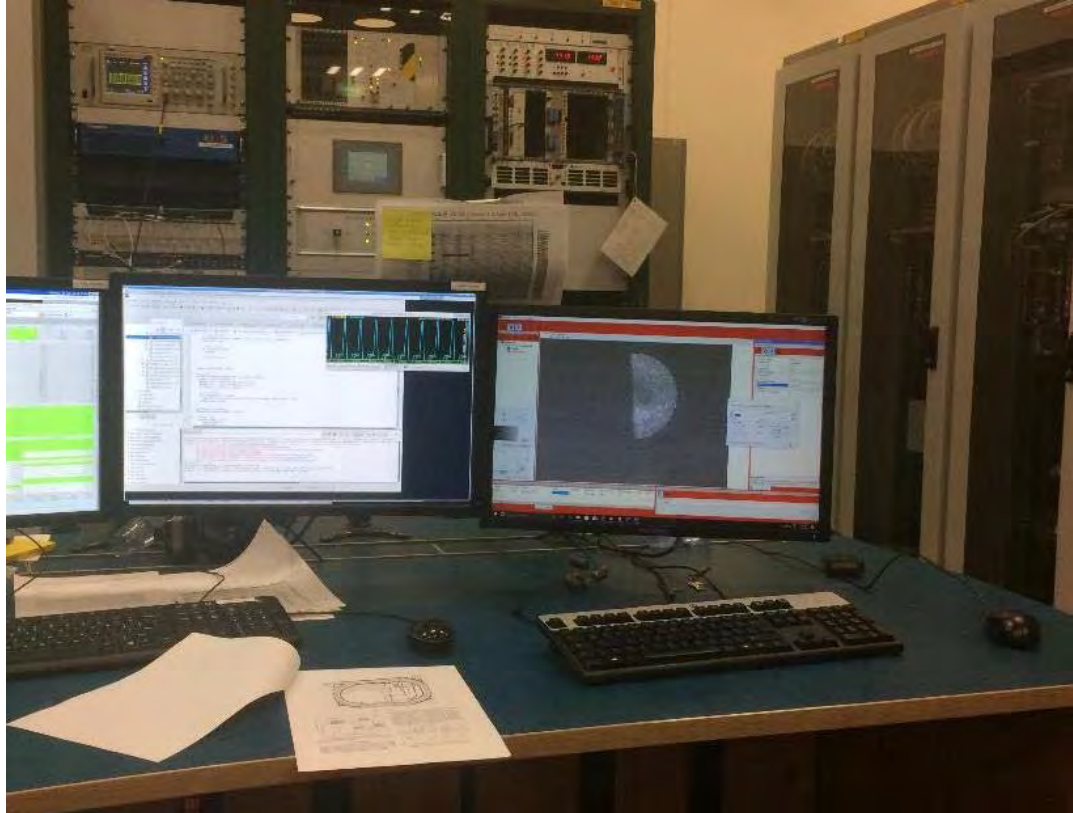
100 keV \bar{p} \rightarrow 230 ns/m

10 keV \bar{p} \rightarrow 720 ns/m

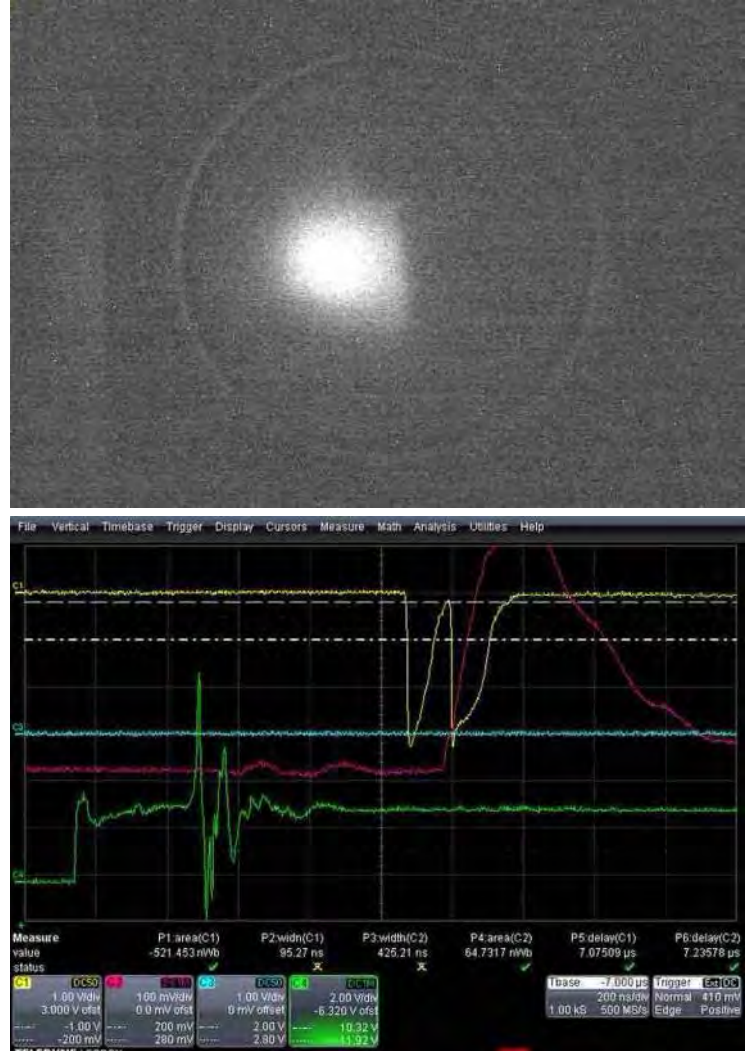
risetime 280 ns

First beams from ELENA

H^- : July 10, 2018



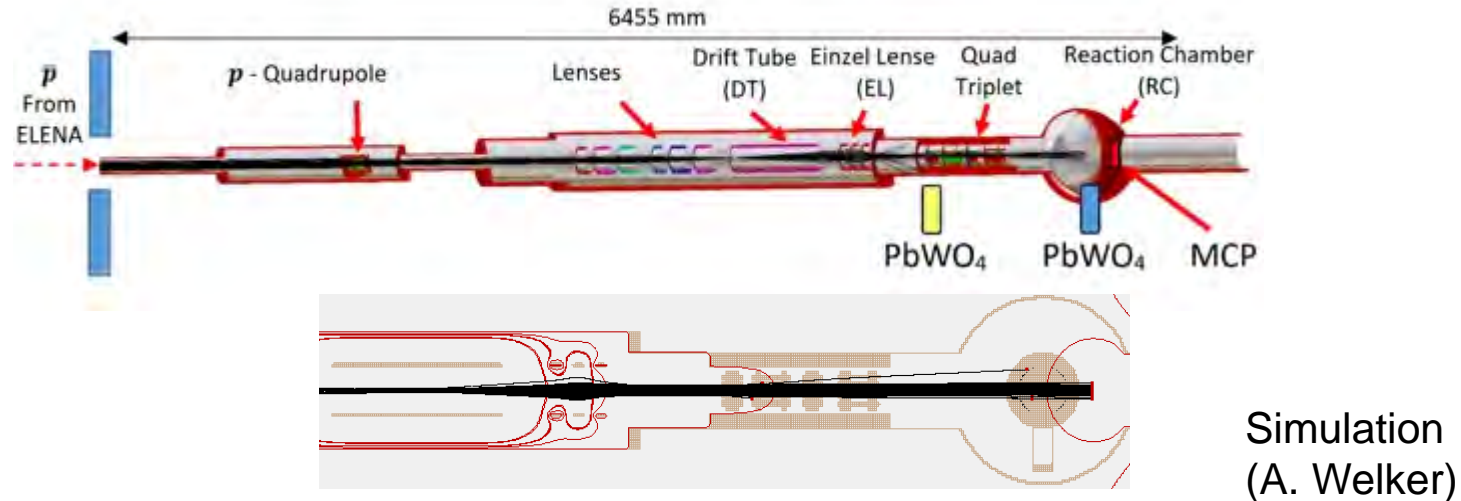
\bar{p} : July 20, 2018



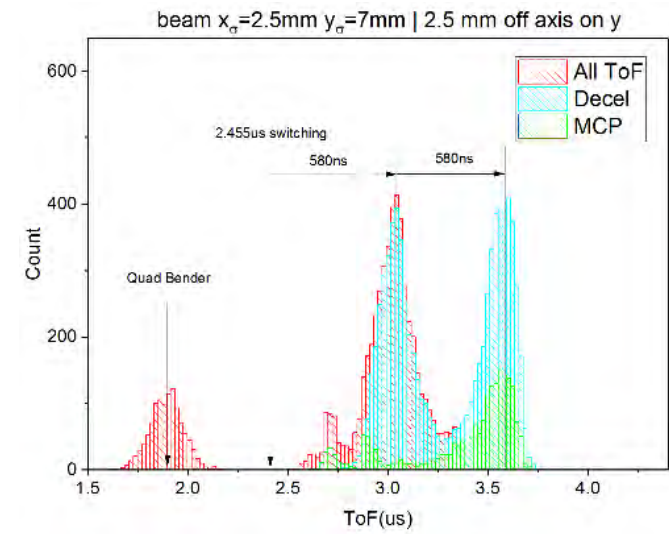
beams from ELENA:
 \bar{p} every 110 s
 H^- 5 s



\bar{p} beam on MCP in reaction chamber



Real event

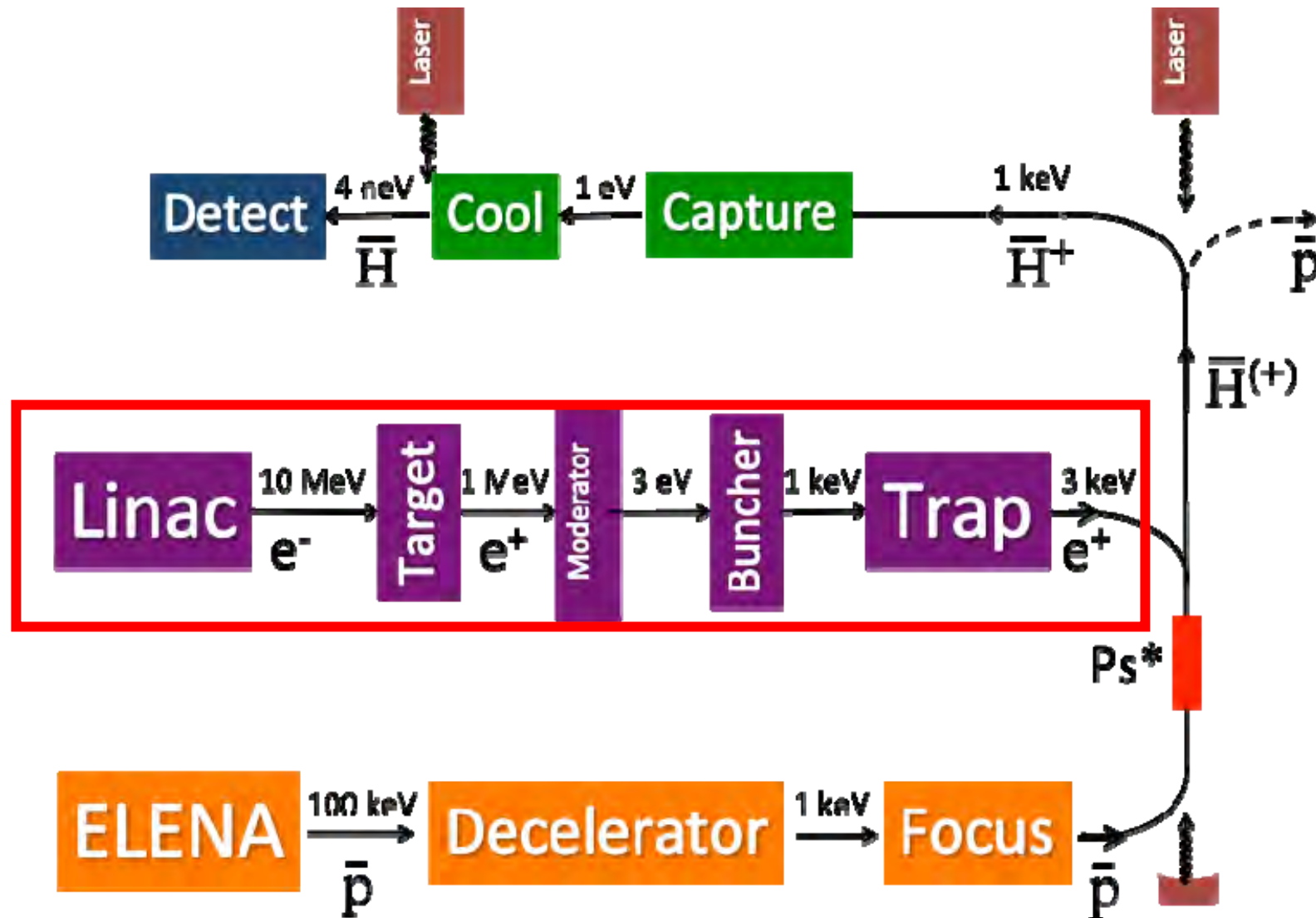


Beam Size = FWHM (5 mm)

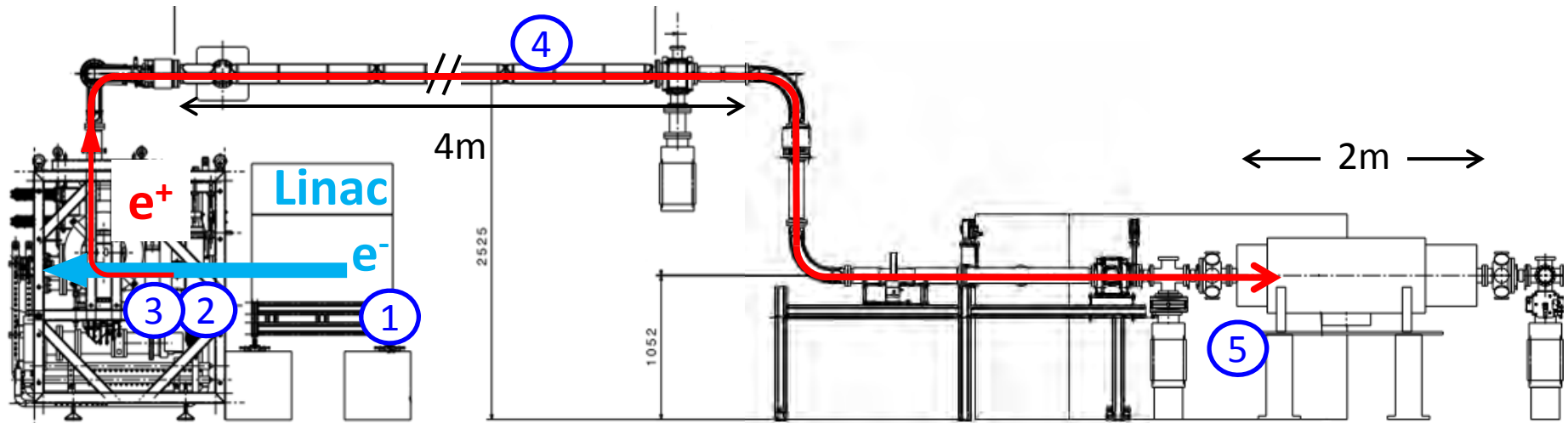
Transversal Energy Spread = 1 keV

Beam on axis ~ 25% is decelerated (so ~ $10^6 \bar{p}$)

GBAR Schematic



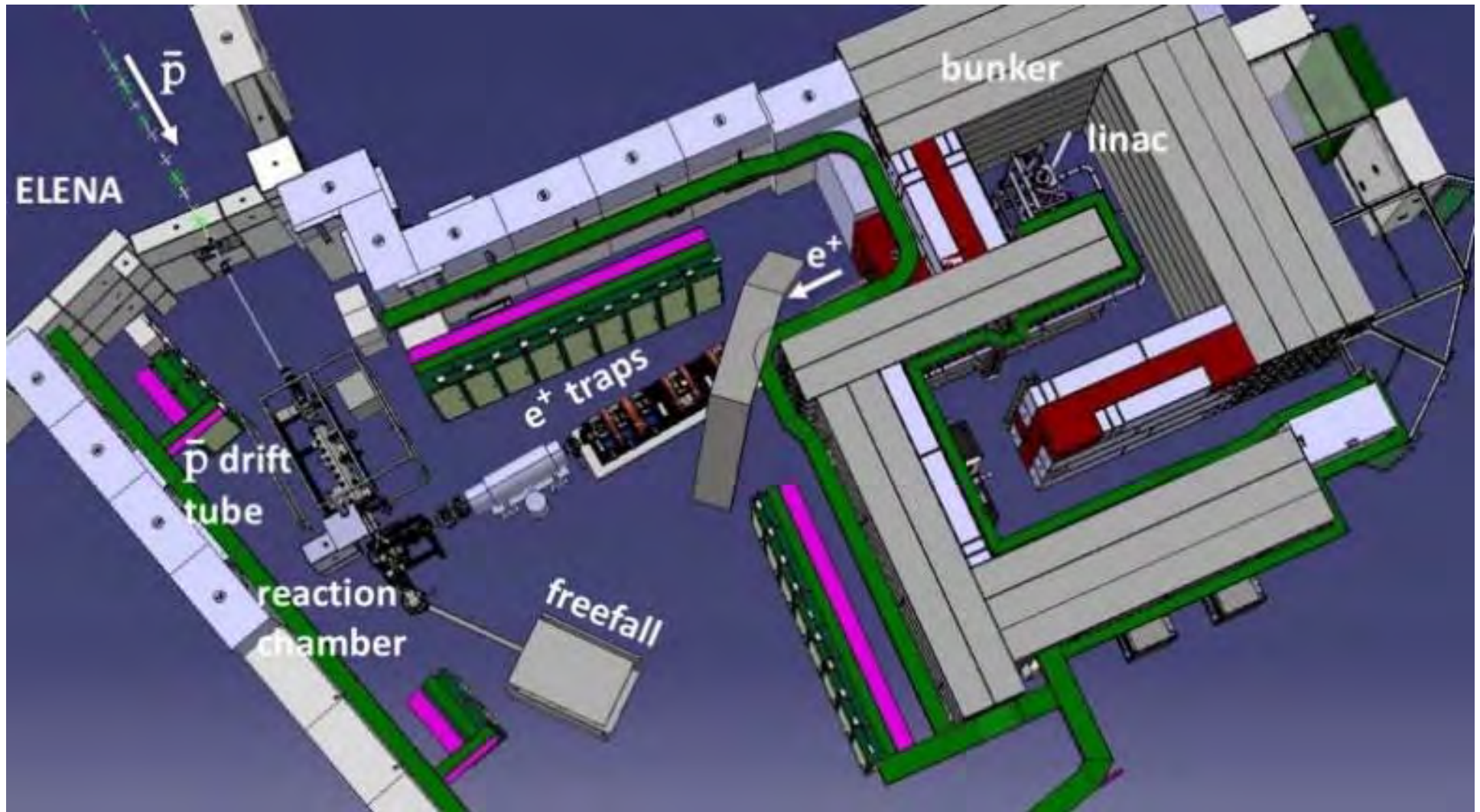
e^+ demonstrator in Saclay



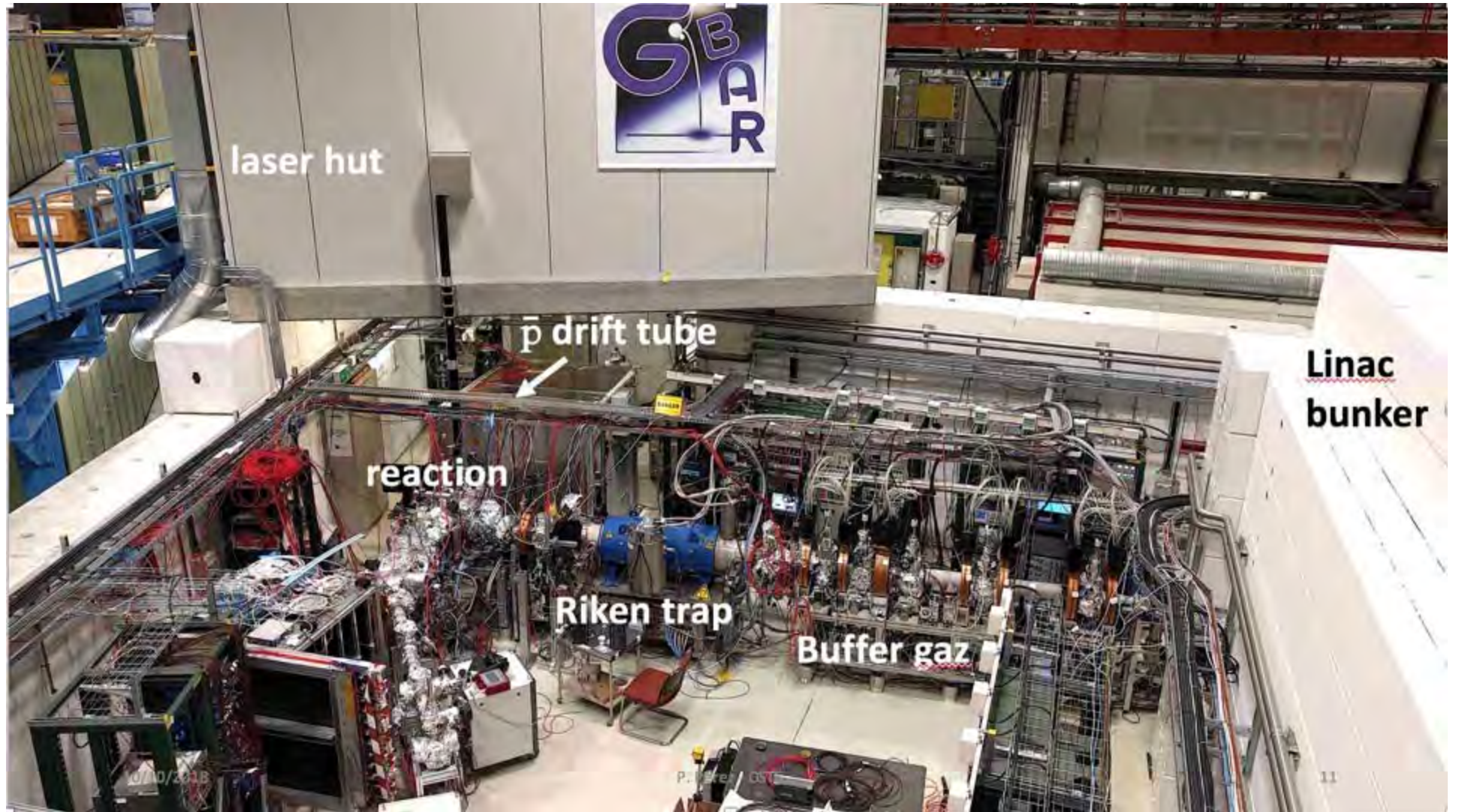
1. Linear electron accelerator (4.3 MeV)
2. Converter e^-/e^+
3. e^+ moderator
4. Magnetic (solenoidal) transfer line
5. 5-T Penning-Malmberg trap from RIKEN



GBAR layout at CERN-AD





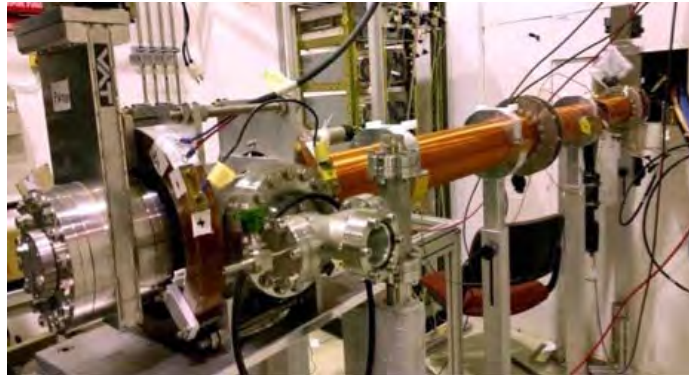


11

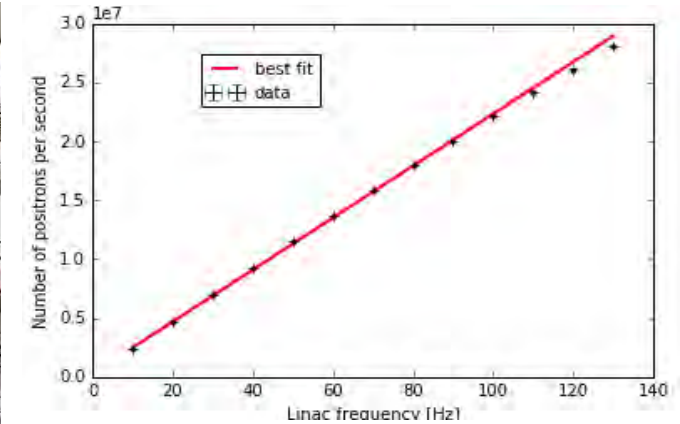
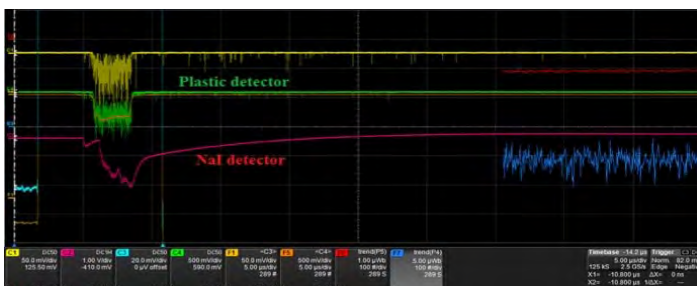
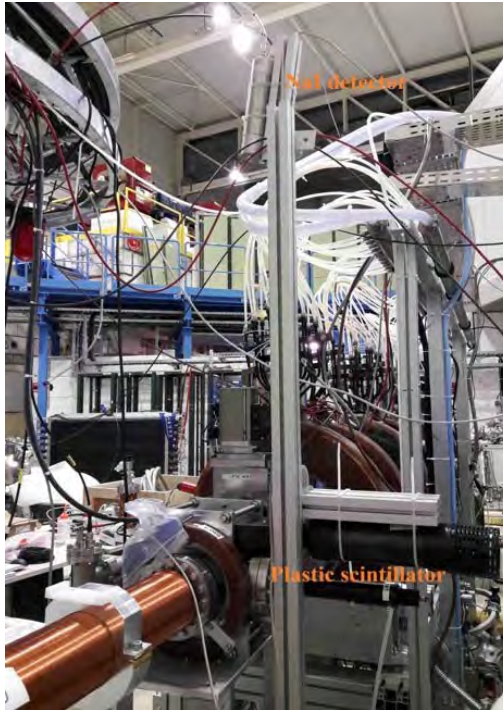
10-MeV, 300 Hz linac from NCBJ (Swierk, Poland)



Measuring positron flux

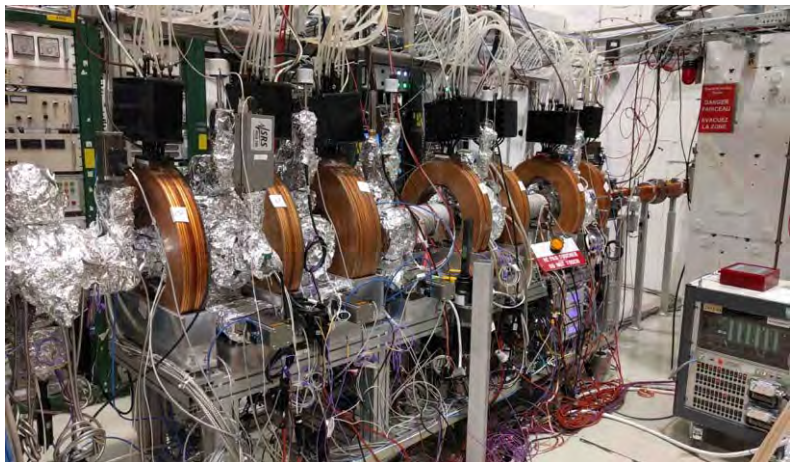


e⁺ beam line exiting the bunker

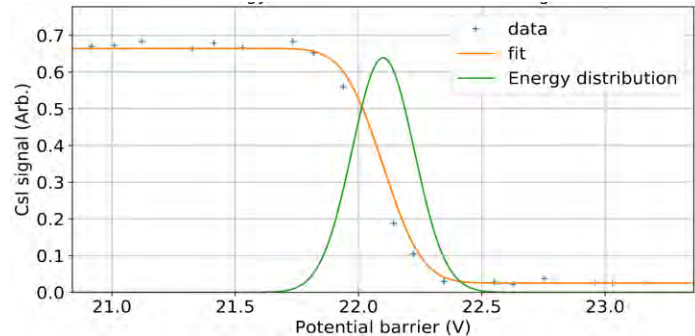
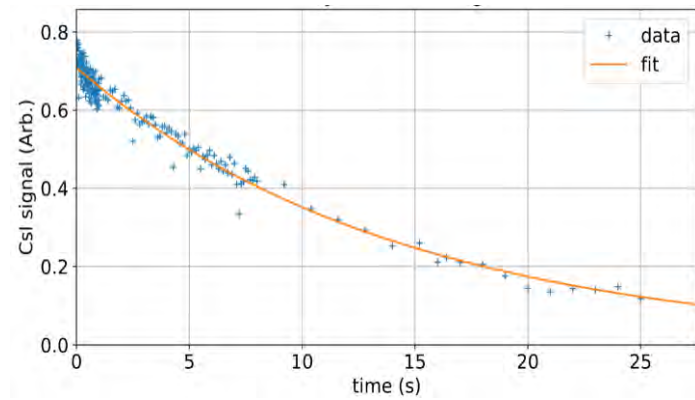


- 3×10^5 e⁺ / pulse initially
- 10% loss per bunch from 10 to 130 Hz
- 2×10^7 e⁺ / s (100 Hz)
- Extrapolation to 300 Hz → 6×10^7 e⁺ / s
- Will improve moderation (x 2 ?)
- Goal 3×10^8 e⁺ / s

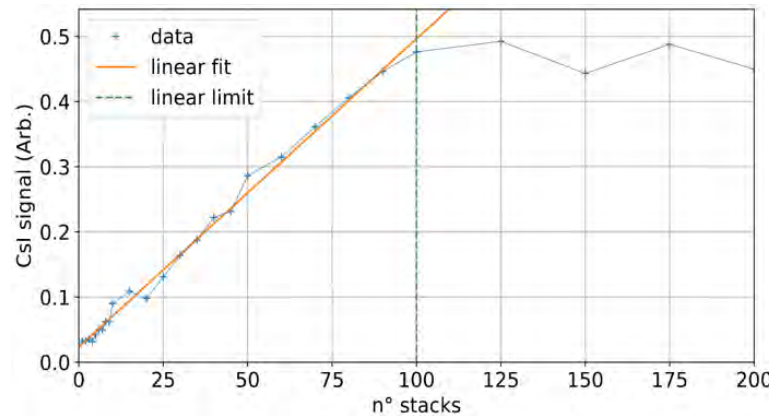
Buffer Gas trap



N_2 with CO_2 cooling gas
present trapping efficiency $5 \pm 0.5\%$ (goal 20-25%)
lifetime 0.6 s (stage 1) and 14s (stage 3)
 $\Delta E = 130$ meV (stdev)
80 bunches from linac stacked and transferred

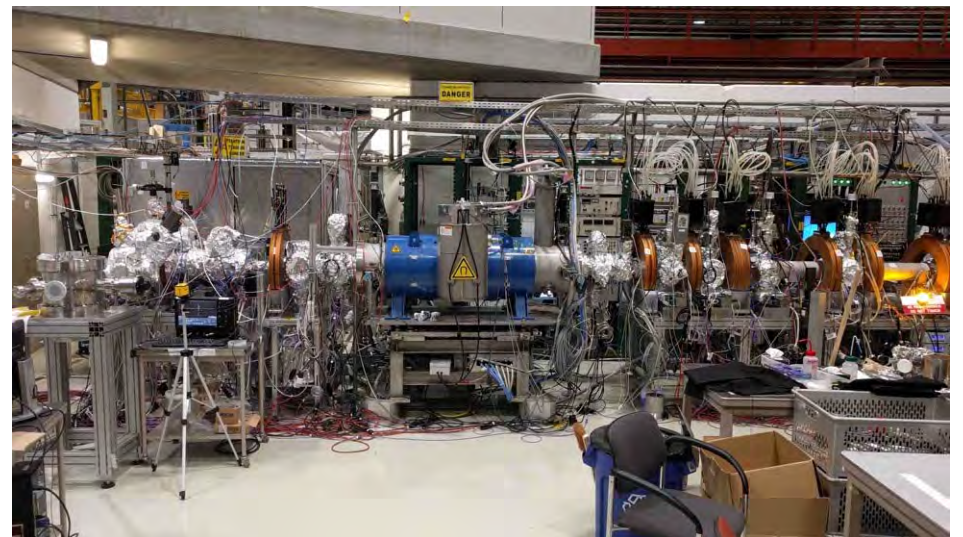


High field positron trap



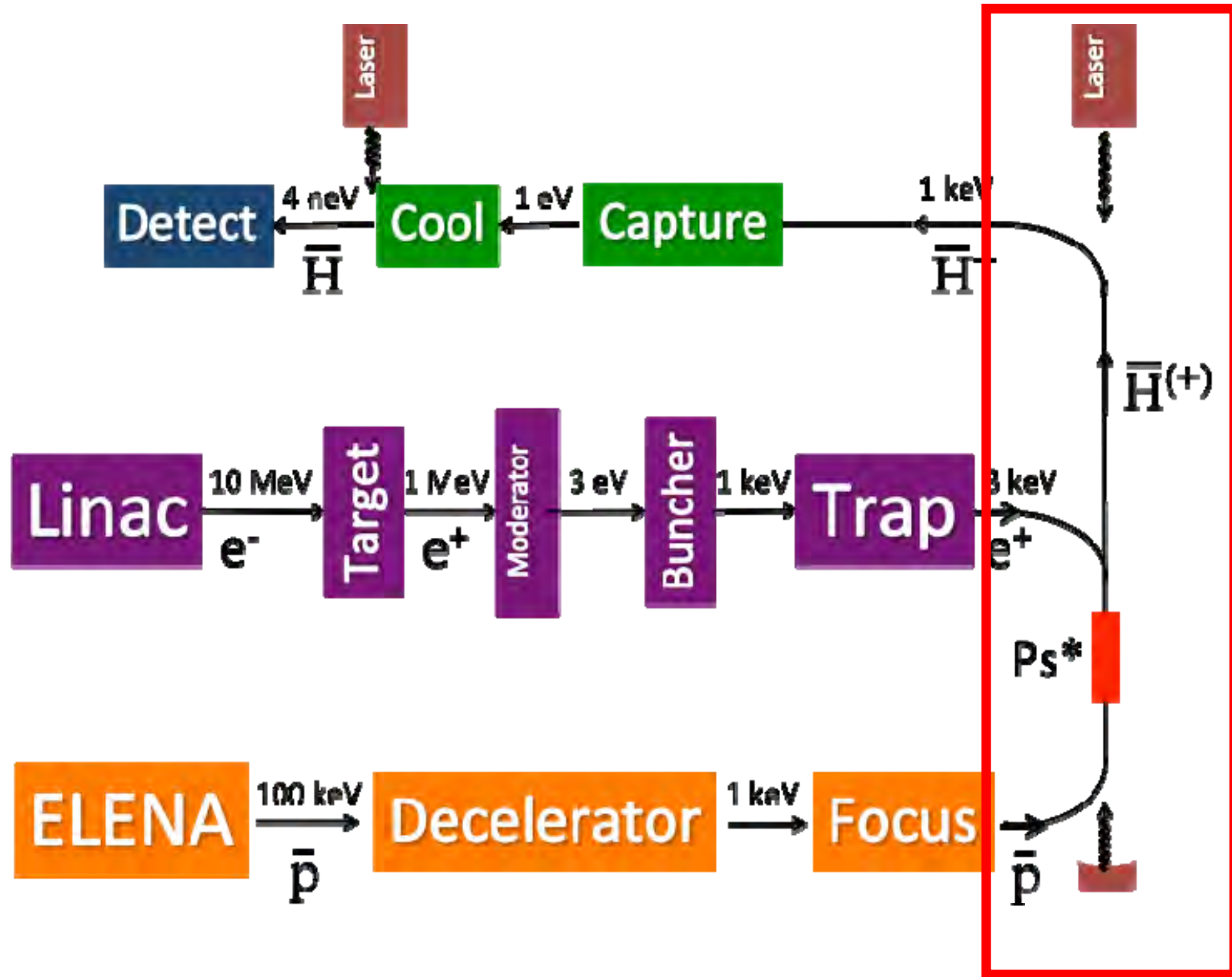
saturation >100 stacks from buffer gas trap
with present potential well shape

With linac at 100 Hz $\rightarrow 1 \times 10^8 e^+$ in 100 s
Goal: accumulate $3 \times 10^{10} e^+$ in 110 s

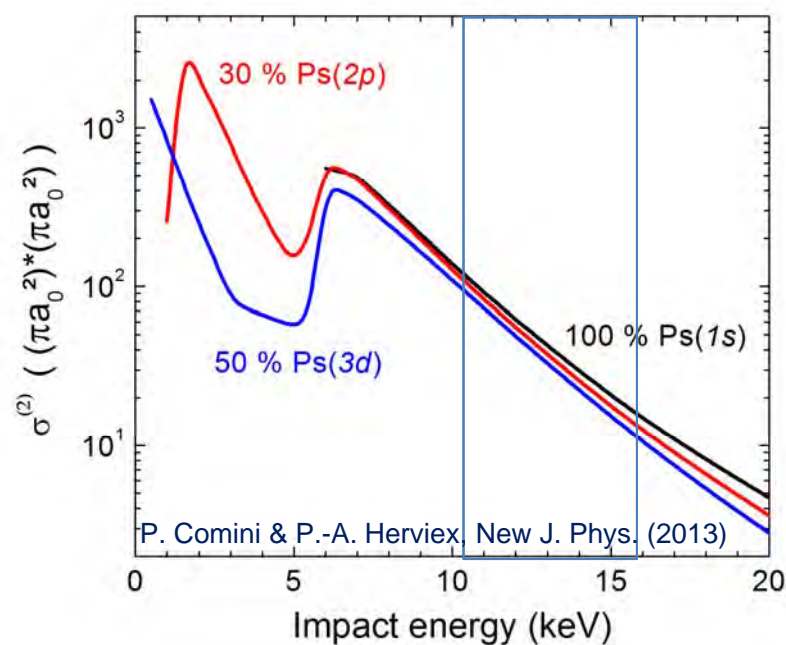
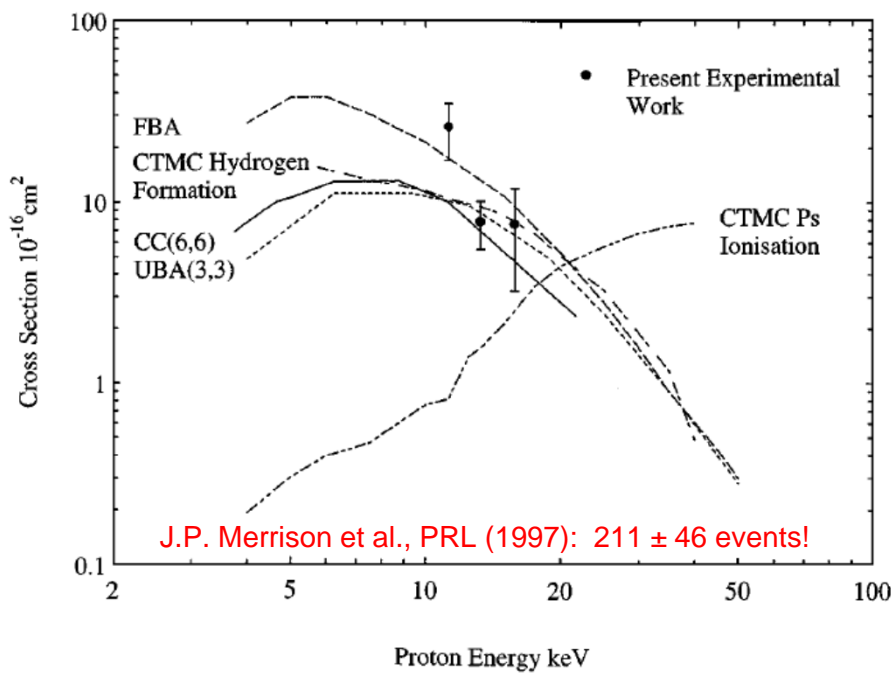
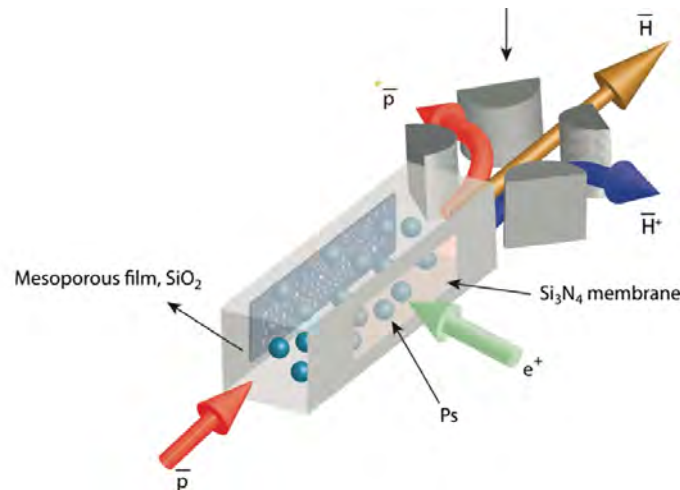
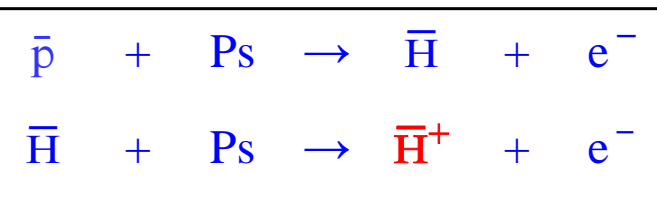


e^+ lifetime in trap > 20 min
plasma diameter $80 \mu m$ using rotating
wall (3 MHz / 1 V)

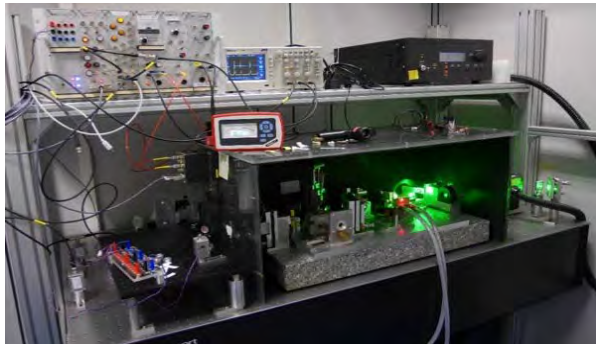
GBAR Schematic



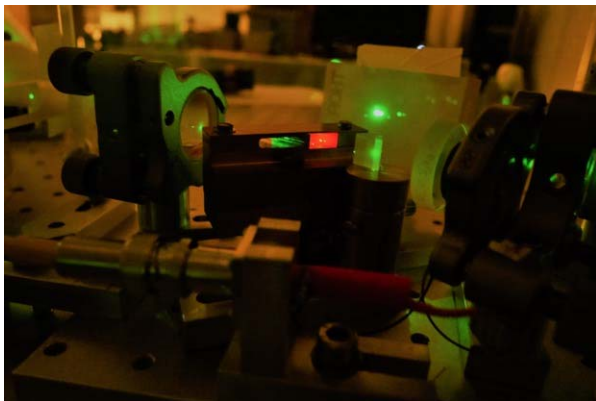
Antihydrogen ion production



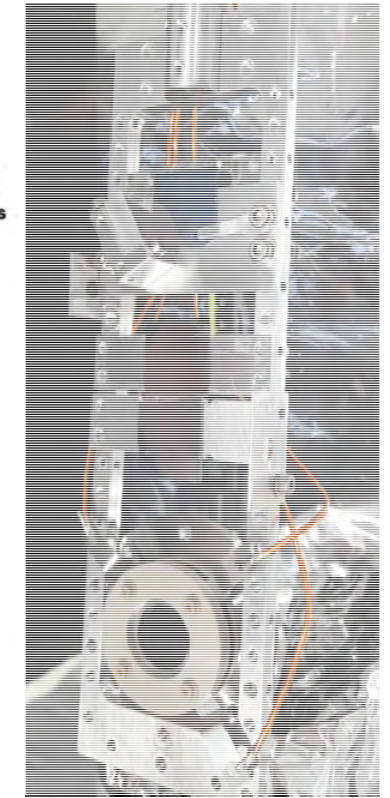
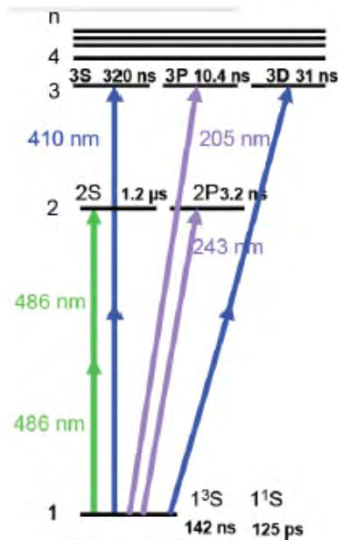
Ps excitation laser



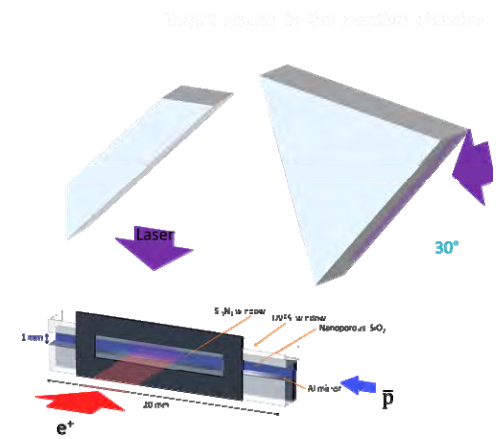
CW TiSa seeder, 260 mW at 820 nm



TiSa oscillator, >5 mJ at 820 nm
9 mJ obtained at 410 nm (with TiSa ampli)

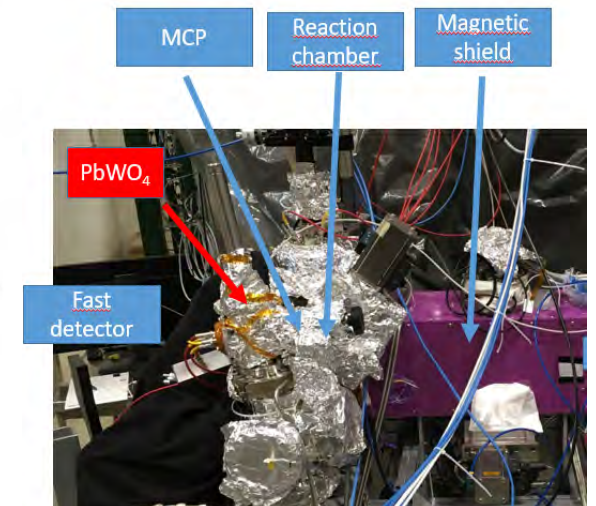
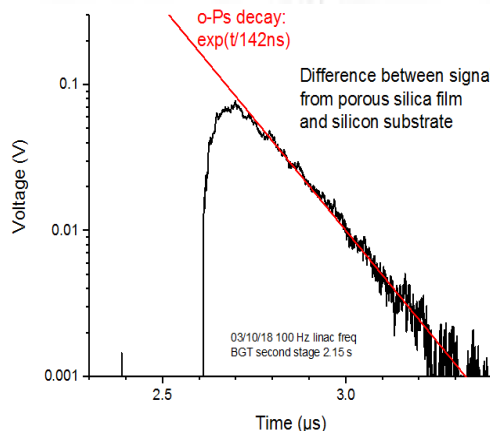
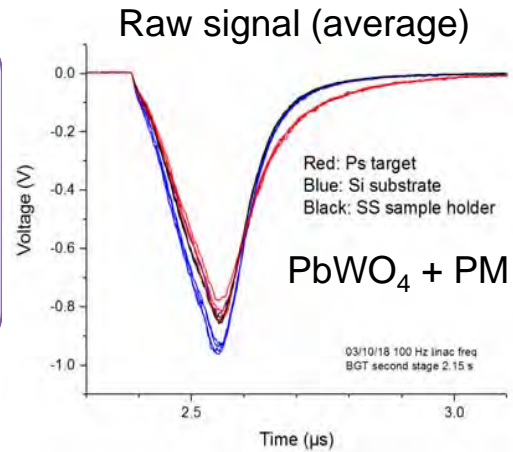
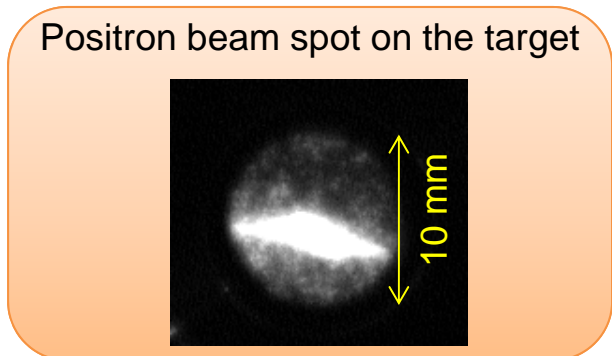
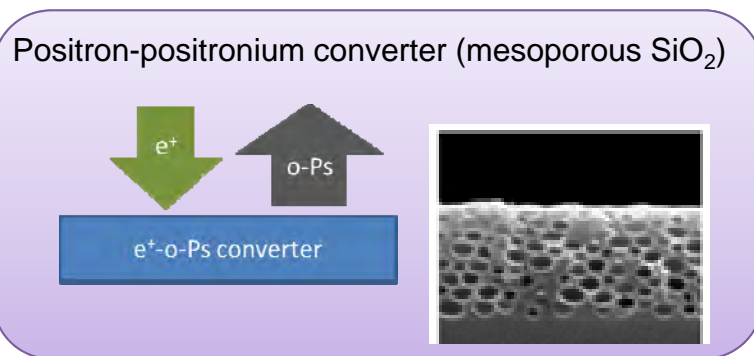


sample holder, MCP, mirror



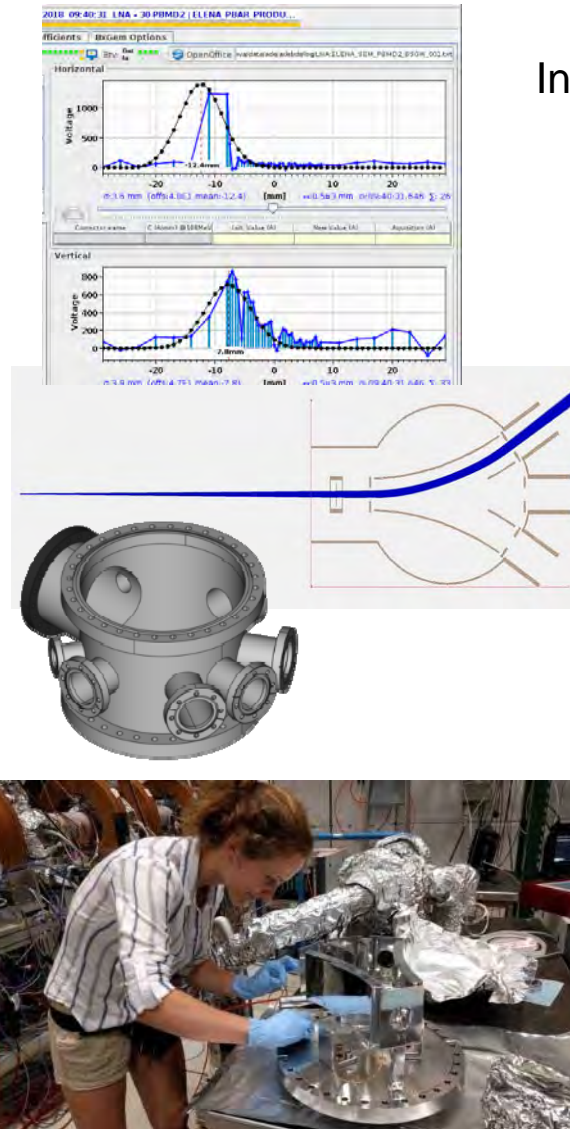
beam paths to Ps target

First ortho-positronium signal for GBAR@CERN

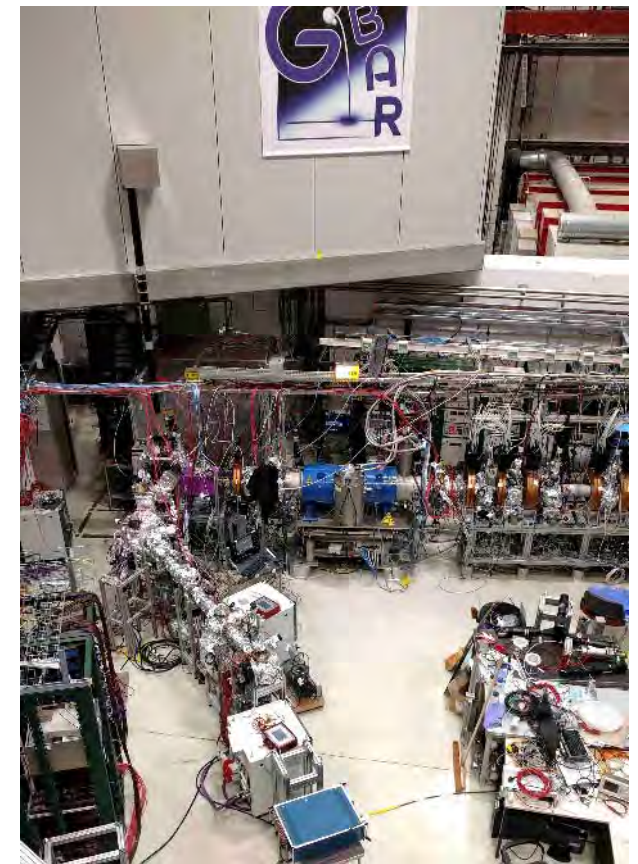
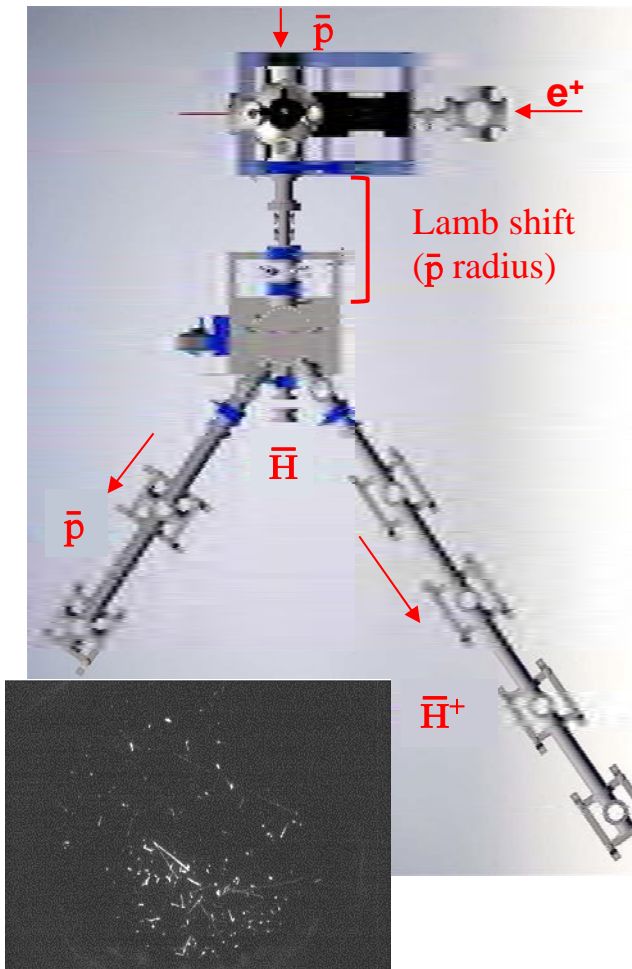


Differential signal showing oPs lifetime

11 November 2018: GBAR attempts Antihydrogen!



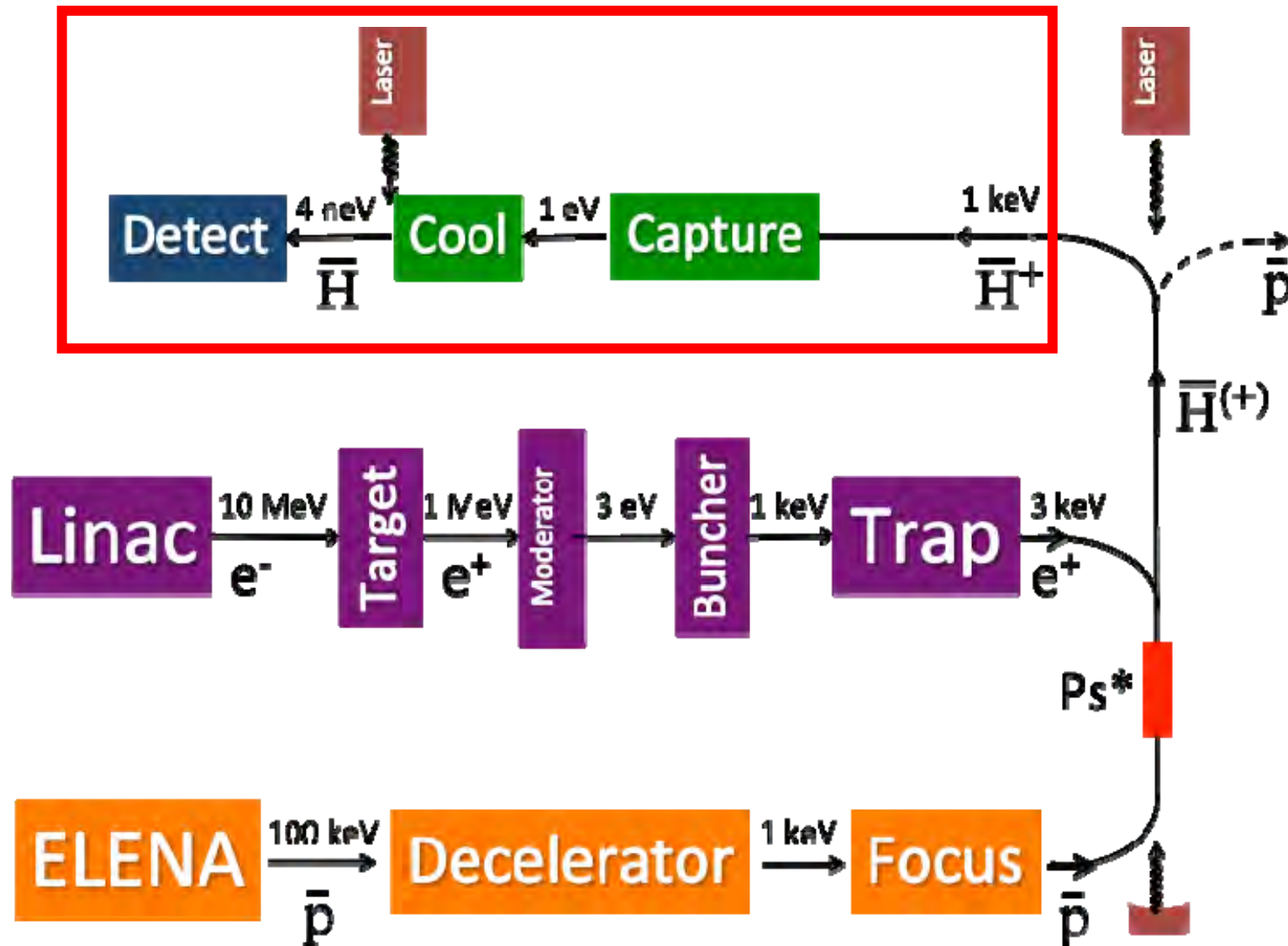
Included ELENA commissioning and debugging diagnostics...



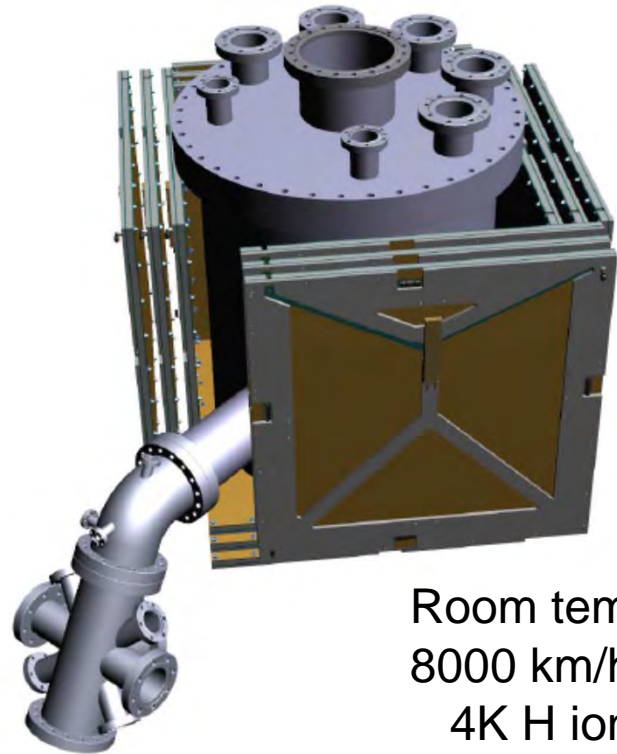
B. Latacz (IRFU) PhD. thesis

antiprotons in MCP
(no $\bar{H} \odot$)

GBAR Schematic



The ultimate (drop) step



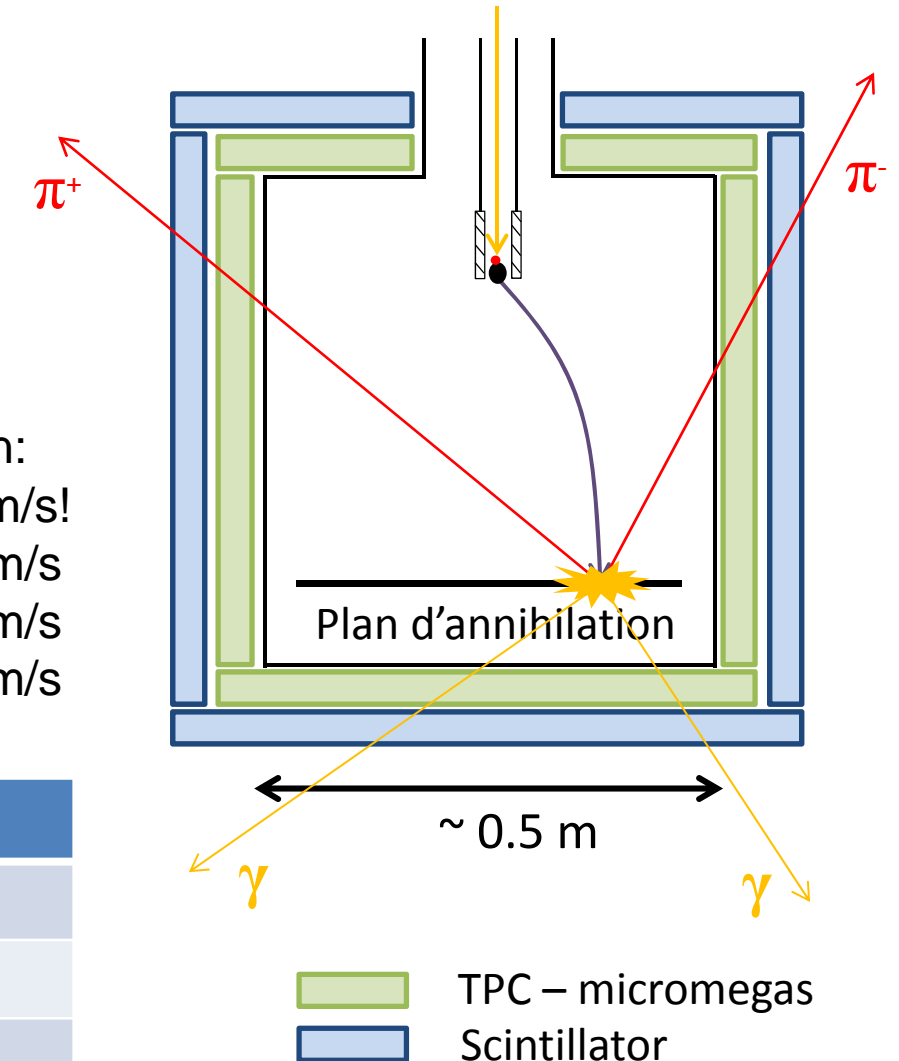
Room temperature \bar{p} ion:
 8000 km/h \rightarrow 2200 m/s!
 4K H ions: 500 m/s
 100 uK: 1 m/s
 1 uK: 0.1 m/s

For 1 \bar{H}^+ :

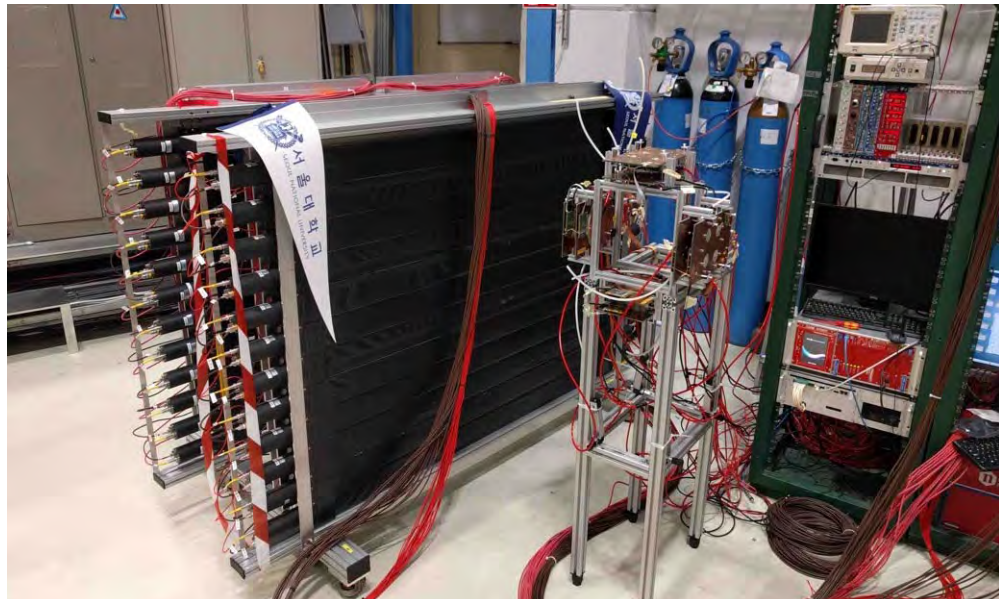
Need $10^7 \bar{p}$
 10^{12} Ps/cm^2
 $(10^{10} e^+)$
 in 1 ADE cycle
 (110 s)

\bar{H} ions ($10 \mu\text{K}$)	$\Delta g/g$
10^3	0.02
10^4	0.006
5×10^5	0.001

$$y = y_0 + v_0 t + \frac{1}{2} g t^2$$



Detection: time of flight and tracking

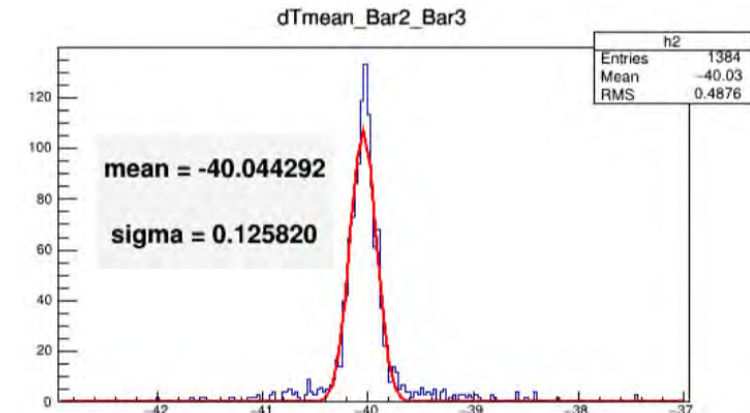


TOF planes
170 cm x 10cm x 5cm

S.K. Kim and team
(Seoul National University)

test micromegas tracker

P. Crivelli and team (ETH)
B. Vallage, S. Procureur & team (IRFU)



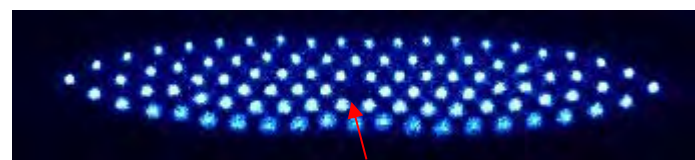
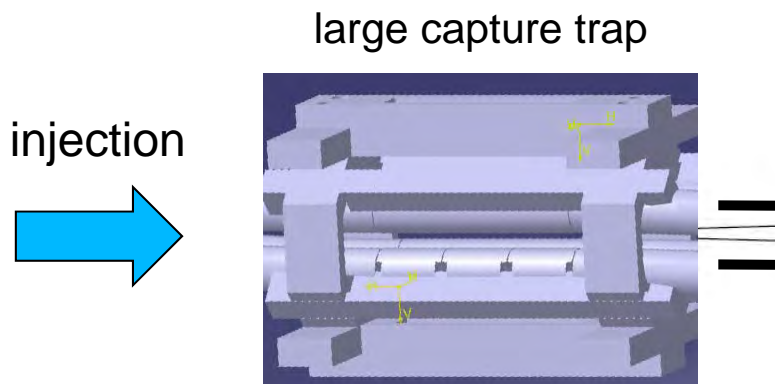
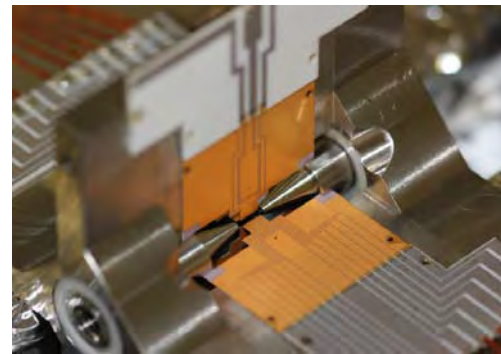
→ 80 ps resolution
allows to distinguish up-down particles

Test micromegas from ETHZ (x5 multiplexing)
19 planes 50 cm x 50 cm from Irfu and ETHZ
tested successfully with DREAM electronics

Aim: 1-mm vertex reconstruction accuracy

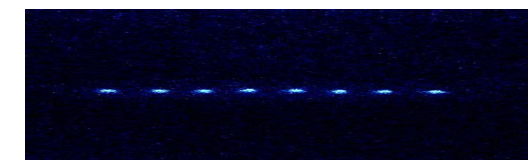
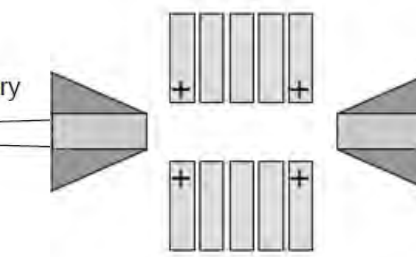
Sympathetic cooling of trapped \bar{H}^+ ions

No transition to laser cool \bar{H}
→ sympathetic cooling
transitions known for ${}^9\text{Be}$
But Δm with ${}^1\text{H}$ still large

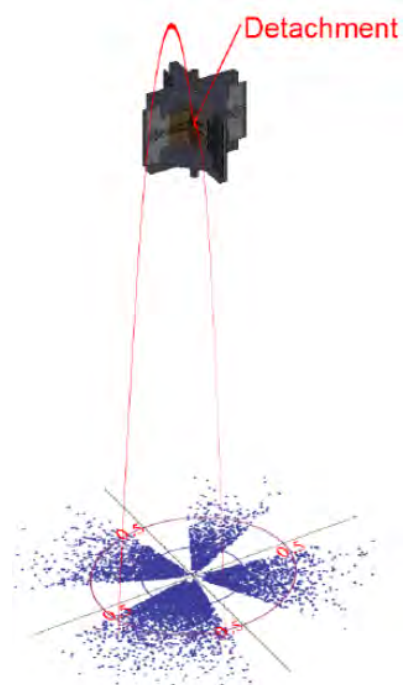


dark ion in capture trap (H_2^+ or H_3^+)
L. Hilico, J.-Ph. Karr et al. (LKB-Paris)

\bar{H}^+ cooled by Be “ice cubes”



First results (using Ca ions)
S. Wolf, F. Schmidt-Kaler (Mainz)



GBAR Timeline

Letter of Intent
SPSC-2007-038

Research Board
AD-7

CERN
MoU

2007

2011

2012

2014

Proposal
SPSC-P-342

CERN
FRC

GBAR off-line
commissioning

GBAR
installation

GBAR on-line
commissioning

p-work
FF chamber

2016

2017

2018

LS2...

ELENA
installation

ELENA
commissioning



O VILLEUR/SPECTACLES - SEVENNE / L'ESPRESS

Les splendeurs d'Arégonde, reine des Francs p.48

**SCIENCES
ET AVENIR**

Sciencesetavenir.fr

CANCER L'espoir d'un vaccin

p.74

L'ANTIMATIÈRE

révèle les secrets de l'Univers

p.30

Expérience d'antigravité au Cern

M 02667 - 836 - F: 4,80 € - RD

OCTOBRE 2016 - N° 836 ALLEMAGNE 6,80 € / AUTRICHE 5,40 € / BELGIQUE 5,20 € / GRÈCE 5,20 € / CANADA-USA 7,50 \$ / ESPAGNE 5,20 € / ITALIE 5,20 € / LUXEMBOURG 5,20 € / MAROC 45,00 MAD / TQM 730 XPF / TOM (AVION) 1400 XPF / PORTUGAL 5,20 € / SUISSE 7,70 CHF / TUNISIE 6,50 TND / DOM 5,20 €

DOSSIER
Cosmologie

EXPÉRIENCE

Gbar va traquer le comportement de l'antihydrogène

● Point d'arrivée des ions d'antihydrogène, (un atome d'antihydrogène accompagné d'un positron).

● Un tir laser chasse le positon. Reste alors un atome d'antihydrogène.

● L'atome d'antihydrogène entame alors sa chute libre sur 20 cm.

● Les particules produites lors de cette annihilation parviennent aux détecteurs qui entourent la cuve. Leur identification permet de reconstruire la manière dont l'antihydrogène a chuté : cela revient en quelque sorte à peser l'antimatière.

● L'antihydrogène percute le sol : il y a annihilation comme à chaque fois que matière et antimatière se rencontrent.

CEA/IRFU/DSM/DES/PRADY

Pour entreprendre des expériences sur l'antimatière, il faut ruser. L'antihydrogène tout comme l'hydrogène sont des atomes neutres, difficiles à manipuler. Au contraire d'une particule dotée d'une charge électrique qui, elle se met d'emblée en mouvement dans un champ électromagnétique. L'astuce ici, pour Gbar, est de fabriquer d'abord des ions antihydrogène, c'est-à-dire un atome d'antihydrogène affublé d'un positron. Ce dernier porte une charge positive, là où celle de l'électron est négative. L'ion antihydrogène peut être ainsi facilement acheminé à l'intérieur de la cuve ①. Puis, un faisceau laser ② vient ôter le positon superflu, l'antihydrogène se retrouve seul dans la cuve. Sa chute peut commencer ③. Lorsqu'il percute le plancher ④, il s'annihile en créant de nouvelles particules. La cuve est entourée de détecteurs capables d'identifier les particules résultantes et ainsi de reconstruire la chute de l'antihydrogène. Rien ne préside qu'elle soit similaire à celle de l'atome d'hydrogène ⑤. La moindre différence de comportement – une déviation de 1 % par exemple – permet de valider des hypothèses sur la nature de l'antimatière.

La quête récente des antiparticules

<p>1932 Découverte Un an après sa prédiction théorique par Paul Dirac, Carl Anderson observe le positon (anti-electron).</p>	<p>1995 Lear Neuf atomes d'antihydrogène sont isolés pour la première fois dans l'anneau du Lear, au Cern.</p>	<p>2002 Athena Cette expérience parvient à produire 50 000 atomes d'antihydrogène de basse énergie.</p>	<p>2011 Alpha Les atomes d'antihydrogène sont stabilisés pendant plus de 16 minutes.</p>	<p>2016 Gbar L'antimatière chute-t-elle comme la matière ? Gbar va tenter d'y répondre.</p>
---	---	--	---	--

N° 836 - Octobre 2016 - Sciences et Avenir - 33

NEWS • 20 FEBRUARY 2018 • CORRECTION 20 FEBRUARY 2018

Physicists plan antimatter's first outing — in a van

Researchers intend to transport the elusive material between labs and use it to study the strange behaviour of rare radioactive nuclei.

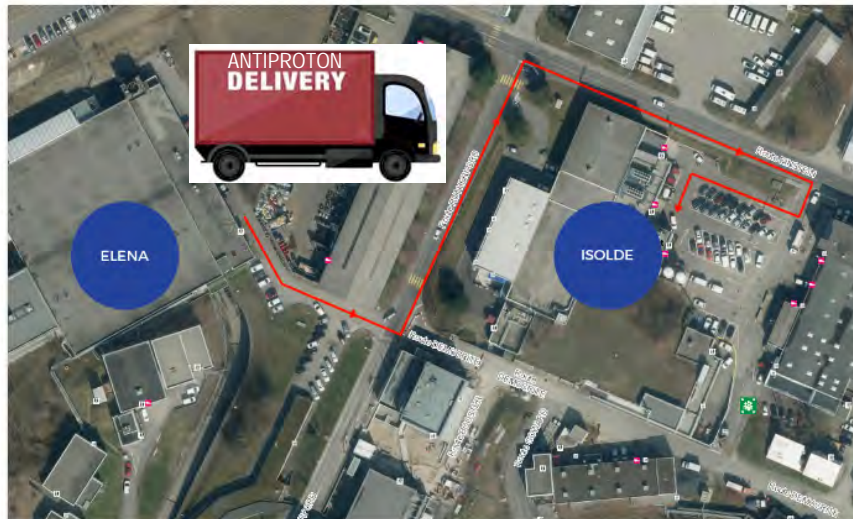
Elizabeth Gibney



Projet PUMA : l'antimatière prend la route

Un nouveau projet européen associant ELENA et ISOLDE va piéger l'antimatière afin d'explorer les phénomènes quantiques dans les noyaux radioactifs.

11 MARS, 2018 | Par Cristina Agrigoroae



Le voyage de l'antimatière entre les installations ELENA et ISOLDE (Image: CERN)

PUMA: A. Obertelli and team (TU-Darmstadt)

NATURE | NEWS FEATURE



The race to reveal antimatter's secrets

In the shadow of the Large Hadron Collider, six teams are competing to answer one of the Universe's deepest existential questions.

Elizabeth Gibney

02 August 2017



PDF



Rights & Permissions



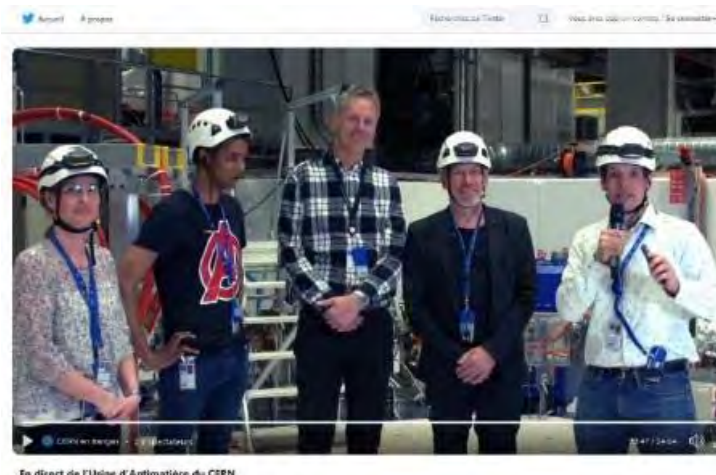
Maximilien Brice/CERN

A laboratory at CERN hosts the only usable source of antiprotons, the proton's antimatter counterpart.

antimatter in the (social) media



Au Grand Rex (mais pas tout à fait live du CERN...)



Summary



De nouvelles expériences sur la gravité au CERN

Les expériences ALPHA-g et GBAR ont reçu leurs premiers faisceaux d'antiprotons

2 NOVEMBRE, 2018 | Par Ana Lopes



L'installation de l'expérience ALPHA-g dans le hall du Décelérateur d'antiprotons, au CERN. (Image: CERN)

- ❖ Interesting physics goal – lots of competition!
- ❖ First experiment to receive ELENA antiproton beam
- ❖ GBAR attempted antihydrogen fabrication in 2018
- ❖ 2 PhD theses from CSNSM (P. Grandemange, 2013 & A. Husson, 2018)
- ❖ LS2 plans: matter-analog reaction measurements & remaining installation
- ❖ Long-term experiment!

ANR POSITRAP (2011-2014)
ANR ANTION (2014-2018)
(enfin) Projet IN2P3



GBAR Collaboration – 53 scientists/17 institutes



Swansea University
School of Physical Sciences

東京理科大学
Tokyo University of Science



Eidgenössische Technische Hochschule Zürich
Swiss Federal Institute of Technology Zurich



P. Pérez (IRFU), Spokesperson



JOHANNES GUTENBERG
UNIVERSITÄT MAINZ

Laboratoire Kastler Brossel
Physique quantique et applications



P.N. Lebedev Physical
Institute of the Russian
Academy of Science

NEUTRONS FOR SCIENCE
Institut Laue-Langevin

M. Charlton, J. Choi, M. Chung, P. Cladé, P. Comini, P. Crivelli, P-P. Crépin, O. Dalkarov, P. Debu, L. Dodd, A. Douillet, S. Guellati, J. Heinrich, P-A. Hervieux, A. Husson, P. Indelicato, G. Janka, S. Jonsell, J-P. Karr, K. Khabarova, B. Kim, E-S. Kim, S. Kim, Y. Ko, N. Kolachevski, T. Kosinsky, N. Kuroda, B. Latacz, H. Lee, J. Lee, A. Leite, E. Lim, L. Liszkay, T. Louvradoux, D. Lunney, K. Lévêque, G. Manfredi, B. Mansoulié, M. Matusiak, G. Mornacchi, V.V. Nesvizhevsky, F. Nez, S. Niang, R. Nishi, S. Nourbaksh, K. Park, P. Pérez, B. Radics, C. Regenfus, S. Reynaud, J-Y. Roussé, A. Rubbia, J. Rzadkiewicz, Y. Sacquin, F. Schmidt-Kaler, N. Sillitoe, M. Staszczak, B. Vallage, D-P. van der Werf, A. Voronin, A. Welker, S. Wolf, D. Won, S. Wronka, Y. Yamazaki, K-H. Yoo

Thanks for listening!